

RÉPUBLIQUE DU SÉNÉGAL



ÉCOLE POLYTECHNIQUE DE THIÈS

PROJET DE FIN D'ETUDES

EN VUE DE L'OBTENTION DU DIPLÔME D'INGÉNIEUR DE CONCEPTION

TITRE Analyse Thermo-Hydraulique
d'un système de tuyauterie
caractérisé par un écoulement
biphasique.

DATE : JUIN 1986

AUTEUR : Cheikh Cisse KA
DIRECTEUR : Adrian R. CERNEA
CO-DIRECTEUR : Aliou DIACK

- A tous ceux qui ont contribué, d'une manière ou d'une autre, à ma formation, d'homme et d'ingénieur.
- A tous ceux qui luttent pour mettre fin à l'oppression, sous toutes ses formes.

REMERCIEMENTS

Je tiens à exprimer ma reconnaissance

- A mon professeur Adrian R. CERNICA, directeur de ce projet, dont la documentation, les riches suggestions et la disponibilité entière, ont grandement contribué à la réalisation de ce projet.
- A l'ingénieur polytechnicien Chérif El Oualid SOW, de la centrale thermique du Cap des Brûches de la Senelec, pour son soutien, sa disponibilité et sa sympathie exemplaires.
- A mon collègue Djoudou KONDE, pour le soutien moral et les conseils éclairés qu'il m'a eu de répit à me prodiguer durant toute la réalisation de ce projet.

SOMMAIRE

Ce projet de fin d'études traite de l'écoulement biphasique dans une conduite isolée thermiquement.

Il vise à mettre à la disposition des ingénieurs à l'exploitation (de la centrale thermique du Cap des Brises (de la SENELEC) des méthodes de calcul des pertes de charge et de dimensionnement d'une conduite caractérisée par un écoulement biphasique.

Ainsi, trois méthodes de calcul seront exposées au premier lieu, et, en second lieu, une application pratique sera faite en prenant comme exemple une ligne de soutirage (d'une tranche de la centrale thermique du Cap des Brises.

CONVERSIONS

$$1 \text{ kg/s} = 7938 \text{ lb/hr}$$

$$1 \text{ kg/m}^3 = 6,243.10^{-2} \text{ lb/ft}^3$$

$$1 \text{ Pa.s} = 10^3 \text{ C.P. (centipoised)}$$

$$1 \text{ N/m} = 10^3 \text{ dynes/cm}$$

$$1 \text{ m} = 39,37 \text{ po}$$

$$1 \text{ m} = 3,281 \text{ ft}$$

$$1 \text{ m}^2 = 1550 \text{ po}^2$$

$$1 \text{ m}^2 = 10,76 \text{ ft}^2$$

$$1 \text{ psi} = 6895 \text{ Pa.}$$

TABLE DES MATIERES

	<u>Page</u>
Page titre	i
Dédicace	ii
Remerciements	iii
Sommaire	iv
Conventions	v
<u>Introduction</u>	1
<u>Chapitre 1 : Détermination des types d'écoulements biphasiques</u>	
1.1. Introduction	4
1.2. Types d'écoulements biphasiques	4
1.3. Détermination du type d'écoulement biphasique	5
<u>Chapitre 2 : Calcul des pertes de charge dans un écoulement biphasique par la méthode de Phenowell et Martin simplifiée</u>	7
2.1. Introduction	7
2.2. Méthode de calcul	8
<u>Chapitre 3 : Calcul des pertes de charge dans un écoulement biphasique par la méthode de Kien</u>	
3.1. Détermination du type d'écoulement	12
3.2. Pertes d'une conduite horizontale	14
3.3. Pertes d'une conduite verticale	17

Chapitre 4 : Calcul des pertes de charge dans un écoulement biphasique par la méthode approfondie

4.1 Introduction	23
4.2 Rapporteur du gradient de pression	23
4.3 Méthode de calcul des pertes de charge dues à la variation de quantité de mouvement (ΔP_a)	24
4.4 Méthode de calcul du gradient de pression dû à la friction $(\partial P_f / \partial z)$	25
4.5 Méthode de calcul du gradient de pression dû à la gravité $(\partial P_g / \partial z)$	32
4.6 Procédure utilisée pour le calcul de la perte totale de charge ΔP_T de l'écoulement.	39

Chapitre 5 : Méthode de calcul du diamètre d'une conduite caractérisée par un écoulement biphasique

44

Chapitre 6 : Calcul des pertes de charge dans la ligne de soufflage de vapeur turbine-réchauffeur basse pression n°2 de la tranchée 802, de la centrale thermique du cap des Andes de la Snellec

6.1 Introduction	49
6.2 Présentation de la ligne de soufflage turbine-RBP2	50
6.3 Calcul des pertes de charge par la méthode de Chenoweth et Martin simplifiée	51
6.4 Calcul des pertes de charge par la méthode approfondie	52
	54

6.5 Calcul de vérification du diamètre de la conduite
de soutirage en y supposant une perte de
charge admissible de 3%.

60

Chapitre 7 Discussion - Recommandations

63

Conclusion

65

ANNEXES

Annexe A : Corrélation de Lockhart et Martinelli

66

Annexe B : Tables des propriétés de la vapeur et du
liquide saturés

69

Annexe C : Calcul des pertes de charge dans
un écoulement biphasique par la
méthode de la théorie homogène

72

Annexe D : Calcul des pertes de charge d'un
écoulement biphasique eau-vapeur dans
un coude de 90° par la méthode
de Krishnam - Sutherland

75

Annexe E : Table de sélection de méthode de
calcul des pertes de charge dans un
écoulement biphasique

77

Annexe F : Diagramme de Moody

78

Annexe G : Schéma de la tranche 302
de la centrale thermique du Cap
des Poêches (de la Senelec)

79

<u>Annexe H</u> : Essai de calcul des pertes de charge dans la conduite de rentrage turbine-RBP2 par la méthode de Kern.	80
<u>Annexe I</u> : Liste des figures	82
<u>Annexe J</u> : Liste des tableaux	84
<u>REFERENCES</u>	85

INTRODUCTION

Dans beaucoup d'installations industrielles (pipelines, réacteurs chimiques, échangeurs de chaleur, chaudières, etc), on note la présence de deux phases, très souvent un liquide et son vapeur.

Ceci montre l'importance de l'écoulement biphasique dans l'industrie, et particulièrement dans les centrales thermiques. En effet, dans l'exploitation de ces dernières, l'expérience a montré que souvent les pertes de charge - et par conséquent le régime thermique (pression, température, enthalpie et titre au un point donné) - prévues par le constructeur sont loin d'être rencontrées, et que ce fait est très souvent néfaste pour la survie des installations et la sécurité de l'exploitation. Par exemple, pour les lignes de purge, la présence de robinets de contrôle peut causer une vaporisation brusque ou << flashing >> de l'eau rafraîchie, ce qui provoque souvent une déformation des conduites. De plus, les pertes de charge dans les longues conduites de soutirage de vapeur vers les réchauffeurs peuvent être bien à ce fois plus grandes que celles prévues, et il s'en suit une modification du bilan thermique global de l'installation.

De nos jours, la nécessité de l'optimisation des conditions d'exploitation et de la réalisation des conditions

d'une conduite caractérisée par un équilibre biphasique), qui, je l'espère bien, faciliteront la compréhension des théories exposées.

Chapitre 1

DETERMINATION DES TYPES D'ECOULEMENTS BIPHASICIQUES

(de sécurité, pour éviter des phénomènes comme le «burn-out» (fusion du métal dans les chaudières, les siphonneurs et les installations spécifiques à l'industrie chimique), ont engendré des études approfondies de l'écoulement hydraulique. Un exemple de cette tendance sont les améliorations récentes apportées à la construction des chaudières, des siphonneurs, des condenseurs et de la tuyauterie pour les centrales thermiques.

Ainsi, les ingénieurs-responsables de l'exploitation d'une centrale thermique, qui doivent prendre des décisions concernant les conductions optimales d'exploitation, ou, au cas d'un accident, faire rapidement le diagnostic, doivent avoir à leur disposition des informations scientifiques leur permettant de faire ce travail.

C'est dans ce but que je présente dans ce projet trois théories sur le calcul des pertes de charge dans les conduites caractérisées par un écoulement hydraulique. Il s'agit des méthodes de Chenoweth et Martin et de Kern, et de la méthode approfondie. Il faut noter ici que ces trois théories sont les plus utilisées, mais il en existe d'autres. Cependant, au regard du nombre élevé de publications dans ce domaine, il y a toujours des incertitudes sur les résultats et leur interprétation.

Pour terminer, j'ai donné trois exemples de calculs (calculs des pertes de charge par la méthode de Chenoweth et Martin et par la méthode approfondie, et dimensionnement

1.1 Introduction:

Tout écoulement ayant deux phases en interaction et dont le mouvement influence l'interface est dit écoulement biphasique.

Cette condition exigée sur l'interface est introduite pour faire la différence entre les écoulements réellement biphasiques et ceux qui peuvent être traités comme monophasiques (interface fixe).

Dans ce chapitre, je présenterai d'abord les différents types d'écoulements biphasiques possibles, les méthodes utilisées pour la détermination (des ces types d'écoulement) et ensuite les théories pour le calcul (des pertes de charge).

1.2 Types d'écoulements biphasiques:

Le type (de l'écoulement) est déterminé par la géométrie de la ligne interfaciale. Cependant, cette géométrie n'est pas très bien définie, d'où un manque de précision sur la détermination du type d'écoulement.

Les types d'écoulement les plus fréquents sont représentés dans la figure 1.1. de la page suivante.

Les appellations françaises données me sont qu'une traduction des appellations américaines généralement acceptées, car les recherches que j'ai menées dans la bibliographie française, en ce qui concerne ce sujet, se sont

avérées non concluantes.

Les écoulements biphasiques stratifié et ondulé ne se rencontrent pas dans le cas des conduites verticales.

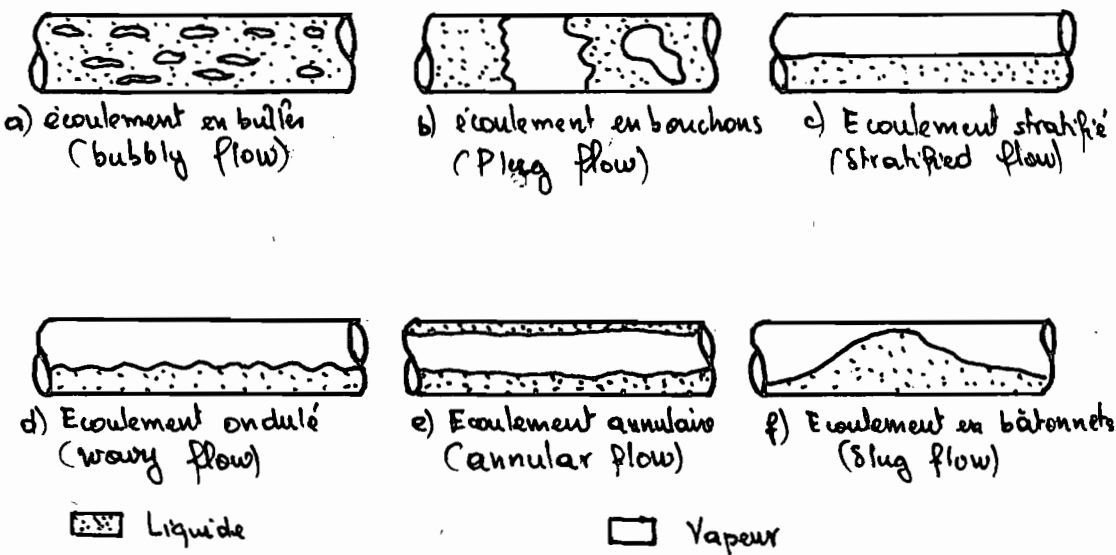


Fig 1.1 : Types d'écoulements biphasiques

1.3. Détermination du type d'écoulement biphasique:

Elle se fait généralement à partir de représentations bidimensionnelles d'un système d'axes, dont les coordonnées sont des paramètres fonction des propriétés (densité, tension de surface, vitesse superficielle, débit massique par unité de surface) des deux phases en présence. En calculant les deux paramètres - coordonnées, on détermine le type d'écoulement.

Beaucoup de représentations bidimensionnelles donnant des résultats différents ont été publiées, et, aujourd'hui, aucune

d'entre elles me peut être dite meilleure. Cependant, la représentation la plus utilisée actuellement est celle de BAKER (1), que je présenterai dans le chapitre III.

Chapitre 2

CALCUL DES PERTES DE CHARGE
DANS UN ECOULEMENT BIPHASICQUE
PAR LA METHODE DE CHENOWETH
ET MARTIN SIMPLIFIEE

2.1 Introduction

L'équation de Bernoulli nous permet de calculer les pertes de charge dans un écoulement de fluide incompressible (de densité homogène, donc barotropique), et, avec plus de difficultés, dans un écoulement de fluide compressible.

Dans le cas d'un écoulement biphasique eau-vapeur d'eau, il y a présence d'un fluide incompressible et d'un fluide compressible, d'où la complexité du problème et la nécessité d'une approche différente de celle utilisée en écoulement monophasique.

L'approche de base a été faite en premier lieu par LOCKHART et MARTINELLI (2), et consiste à lier la perte de charge de l'écoulement biphasique à la perte de charge d'une des deux phases le composant, considérée comme étant seule dans la conduite, par un facteur fonction du rapport entre les pertes de charge du liquide et de la vapeur, considérées respectivement comme étant seules dans la conduite. (voir annexe A)

Malheureusement, les résultats obtenus par Lockhart et Martinelli ne sont exacts que pour les conduites de diamètre inférieur à 50 mm. C'est pourquoi d'autres auteurs comme CHENOWETH et MARTIN (3) et KERN (4) - dont la méthode sera vue au chapitre III - ont donné d'autres relations entre les pertes de charge de l'écoulement biphasique

et de l'écoulement monophasique liquide ou vapeur, pour que l'approche soit valable même pour les conduites de plus grand diamètre.

2.2. Méthode de calcul

Cette méthode permet un calcul rapide des pertes de charge dans un écoulement biphasique, dans une conduite horizontale.

Elle peut être résumée comme suit :

1°) Connaissant la pression P , la température t , la fraction x de vapeur, et le débit massique total m de l'écoulement, on calcule les débits massiques m_L et m_V , les masses volumiques ρ_L et ρ_V , et les viscosités dynamiques μ_L et μ_V du liquide et de la vapeur. (On a $m_V = x m$, et $m_L = m - m_V$, et $\rho_L / \rho_V, \mu_L, \mu_V$ sont calculés à partir de tables thermodynamiques, comme les tables B1 et B2 indiquées en annexe B).

2°) Connaissant la géométrie de la conduite, ses accessoires et son diamètre, on détermine, comme dans le cas d'un écoulement monophasique, les coefficients de pertes de charge singulières K .

3°) Calculer la fraction volumique du liquide ou L.V.F (liquid volume fraction) d'après l'équation

$$L.V.F = \frac{V_L}{V_0} = \frac{m_L \rho_L}{m_V \rho_V} = \frac{m_L \rho_L}{m_V \rho_V} \quad (1.1)$$

- 4°) Calculer le nombre de Reynolds fictif correspondant à chaque phase

$$R_{\rho_L}^* = \frac{4 \bar{m}}{\pi D \mu_L} \quad \text{et} \quad R_{\rho_V}^* = \frac{4 \bar{m}}{\pi D \mu_V} \quad (12)$$

Ces nombres de Reynolds sont pris fictifs parce que tout simplement, dans leur calcul, au lieu de prendre le débit massique correspondant à la phase considérée, on prend le débit massique total de l'écoulement.

- 5°) Connaissez la rugosité relative ξ et le nombre fictif de Reynolds, on détermine, pour chaque phase, le facteur fictif de friction f^* correspondant à l'aide du diagramme de Moody.

- 6°) Calculer la perte de charge fictive de la phase liquide par la formule de Darcy

$$\Delta P_L^* = f_L^* \frac{L}{D} \rho_L \frac{V_L^2}{2} = \frac{8}{\pi^2} f_L^* L \frac{\bar{m}_L^2}{\rho_L D^5} [Pa] \quad (13)$$

où L = longueur de la conduite en m.

V_L = vitesse du liquide en m/s

- 7°) Calculer les groupes additionnels suivants

$$\begin{aligned} \Psi_L &= \frac{f_L^* \times L}{D} + \sum K \\ \Psi_V &= \frac{f_V^* \times L}{D} + \sum K \end{aligned} \quad (14)$$

où $\sum K$ = somme des coefficients de perte singulière, et

calculer pour : $\frac{\rho_L \Psi_L}{\rho_V \Psi_V}$

- 8°) On entre dans le diagramme de la page suivante (figure 21) avec les valeurs de L.V.F. et $\frac{\rho_L \Psi_L}{\rho_V \Psi_V}$, pour

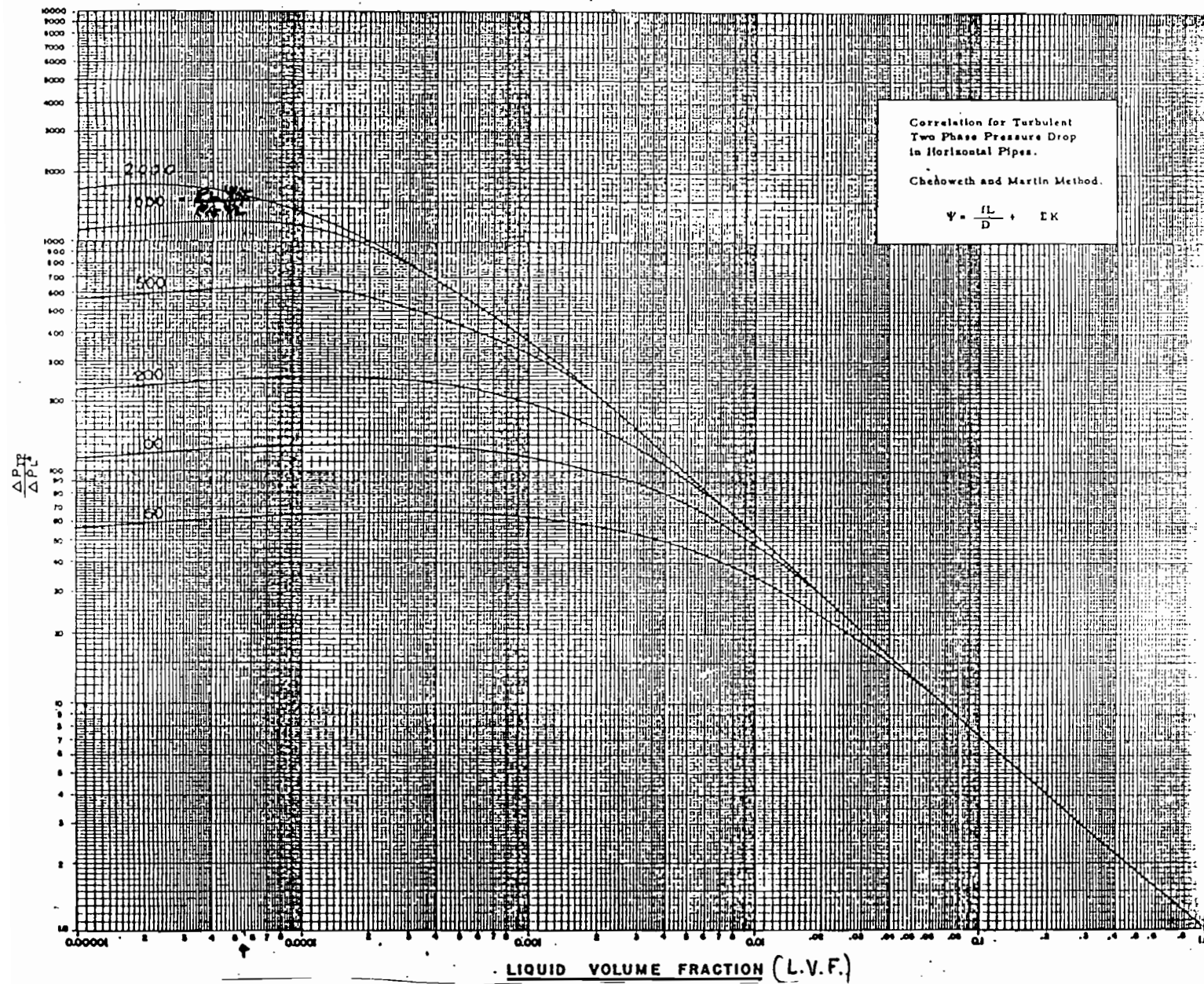


Fig 2.1: $\frac{\Delta P_{TP}}{\Delta P_L^*}$ en fonction de L.V.F et $\frac{\rho_L \psi_{LP}}{\rho_{LP} \psi_L}$

déterminer le rapport entre la perte de charge totale due à l'écoulement ΔP_{TP} et ΔP_L^* , et en déduire ainsi la perte totale de charge ΔP_{TP} .

On peut remarquer, en observant ce diagramme, que si L.V.F est supérieur ou égal à 0,6, le rapport $\frac{\Delta P_{TP}}{\Delta P_L^*}$ ne dépend plus du paramètre $(\frac{L}{D} \frac{\rho_v}{\rho_l} \frac{\Phi_v}{\Phi_l})$, et les étapes 4 à 7 seront sautées.

Cette méthode, très simple (du reste, est surtout valable pour les conduites horizontales, dans lesquelles l'écoulement est turbulent ($R_e > 2000$ et $R_{\theta v} > 2000$)). Chenoweth et Martin ont effectué des séries de calculs et mesures qui leur ont montré que pour des nombres fictifs de Reynolds inférieurs à 2000, la perte de charge calculée est presque toujours supérieure à la valeur mesurée.

Pour des nombres fictifs de Reynolds supérieurs à 2000, 92% des pertes calculées étaient comprises entre $\pm 35\%$ des pertes mesurées, et que toutes les pertes calculées étaient comprises entre $\pm 50\%$ des pertes mesurées.

On remarque aussi qu'il n'est pas nécessaire de connaître le type d'écoulement pour appliquer cette méthode. Cette simplification, et le fait que les conduites horizontales ayant un écoulement biphasique constituent une bonne partie des systèmes industriels, font que cette méthode est largement utilisée.

En revanche, sa précision décroît avec l'augmentation du diamètre. I.

Chapitre 3:

CALCUL DES PERTES DE CHARGE
DANS UN ECOULEMENT BIphasique
PAR LA METHODE DE KERN

Cette méthode ressemble à la précédente, du fait qu'elle tient compte (du type) d'écoulement.

3.1 Détermination du type d'écoulement

Elle se fait ici selon la méthode de Baker, qui, comme je l'ai dit dans le premier chapitre, est la plus utilisée.

Baker a établi une représentation bidimensionnelle dont les deux axes ont pour coordonnées respectivement B_x et B_y , appelées paramètres de Baker, avec :

$$B_x = 531 \left(\frac{m'_L}{m'_{v'}} \right) \left(\frac{P_v^{0,5}}{P_L^{0,166}} \right) \left(\frac{\mu_L^{1/3}}{\sigma_L'} \right) \quad (31)$$

et

$$B_y = 2,16 \frac{m'_{v'}}{A' \sqrt{P_L' P_v'}} \quad (32)$$

où A' = section de la conduite [ft^2]

σ_L' = tension de la surface du liquide [dynes/cm].

m'_L = débit massique du liquide [lb/hr]

$m'_{v'}$ = débit massique de la vapeur [lb/hr]

P_v' = masse volumique de la vapeur [lb/ft^3]

P_L' = masse volumique du liquide [lb/ft^3]

μ_L' = viscosité dynamique du liquide [c.P]

Le calcul de ces deux paramètres nous permet de déterminer le type d'écoulement, à partir du diagramme de la page suivante (figure 3.1). Il faut noter que c'est l'utilisation de ce diagramme et des autres suivants qui nous impose l'utilisation du système d'unités anglo-saxon.

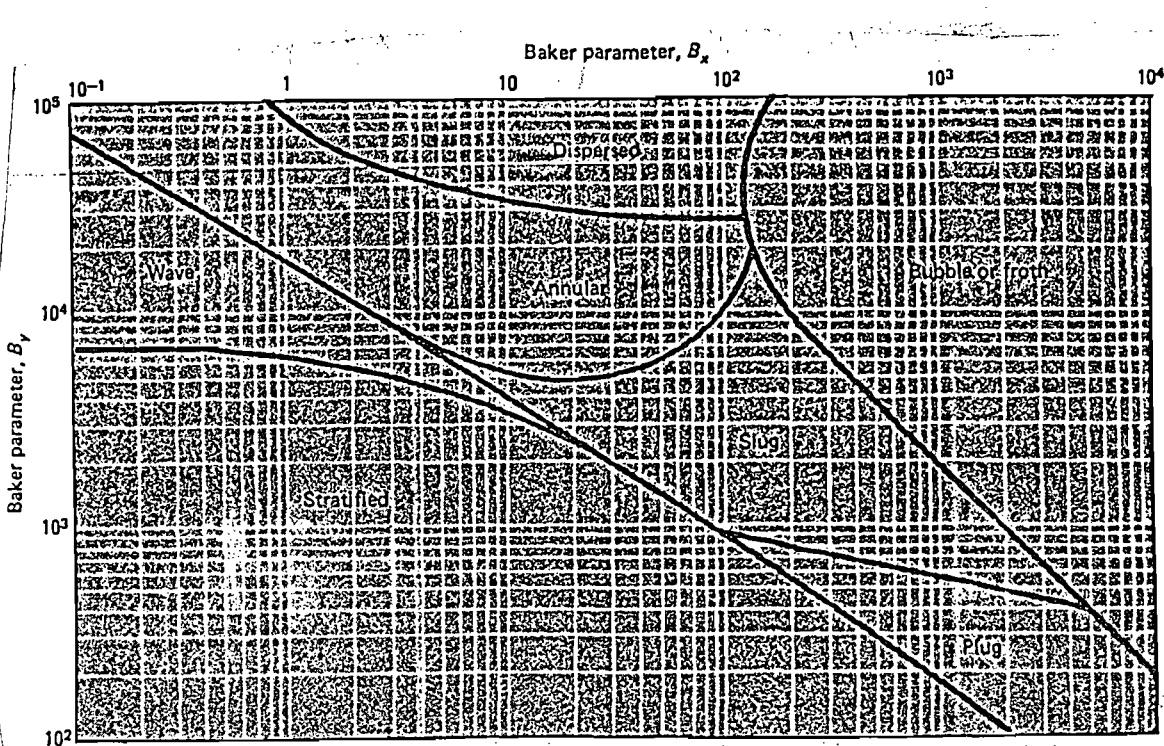


fig. 3.1 : Diagramme de Baker

type d'écoulement						
	dispersé	annulaire	en bulles	stratifié	ondulé	en bâtonnets
Détermination de ϕ	utiliser la figure 3.3 en y entrant avec x^2 ou x_0^2	$\phi = \alpha x^b$ $\alpha = 4,8 - 9,825 \delta'$ $b = 0,343 - 0,021 \delta'$ Si $\delta' > 10$ po, prendre $\delta' = 10$ po ou bien utiliser la figure 3.4 (entrée: x^2 ou x_0^2)	$\phi = \frac{1162 x^{0.75}}{(\alpha_L'/\alpha')^{0.1}}$ ou bien	$\phi = \frac{15400 x}{(\alpha_L'/\alpha')^{0.8}}$	utiliser la corrélation de Schneider - White - Huntington et la figure 3.2	$\phi = \frac{1190 x^{0.815}}{(\alpha_L'/\alpha')^{0.15}}$ $\phi = \frac{23315 x^{0.833}}{(\alpha_L'/\alpha')^{0.17}}$

Tableau B1 : Détermination de ϕ selon le type d'écoulement

Il est recommandé de calculer B_y d'abord, car si on a $B_y \geq 80000$, l'écoulement biphasique est du type 'dispersé'.

Ce type n'a pas été défini dans le premier chapitre, mais il correspond au cas où le liquide est transporté en fines gouttelettes, comme s'il était pulvérisé, par la vapeur.

3.2. Cas d'une conduite horizontale:

3.2.1 Écoulement pondéré

On calcule d'abord le facteur de correction H_x de SCHNEIDER-WHITE-HUNTINGTON (5)

$$H_x = \frac{m_L'}{m_w'} \frac{\mu_L'}{\mu_w'} \quad (3.3)$$

pour déterminer le facteur de frottement f_H de Huntington à partir de la figure 3.2 de la page suivante. Ensuite, on calcule directement la perte de charge $\Delta P_{100}'$ de l'écoulement, pour une longueur de 100 ft (30,48 m), par la formule de Darcy adaptée :

$$\Delta P_{100}' = 0,000336 f_H \frac{(m_w')^2}{D^5} \quad [psi] \quad (3.4)$$

où D = diamètre de la conduite en po.

La perte de charge pour une longueur L' [ft] de conduite sera alors

$$\Delta P_{L'}' = \Delta P_{100}' \times \frac{L'}{100} \quad [psi] \quad (3.5)$$

3.2.2 Écoulements dispersé, annulaire, en bulles, stratifié, en bouchons et en bâtonnets

La méthode de calcul est la même pour tous ces types d'écoulement.

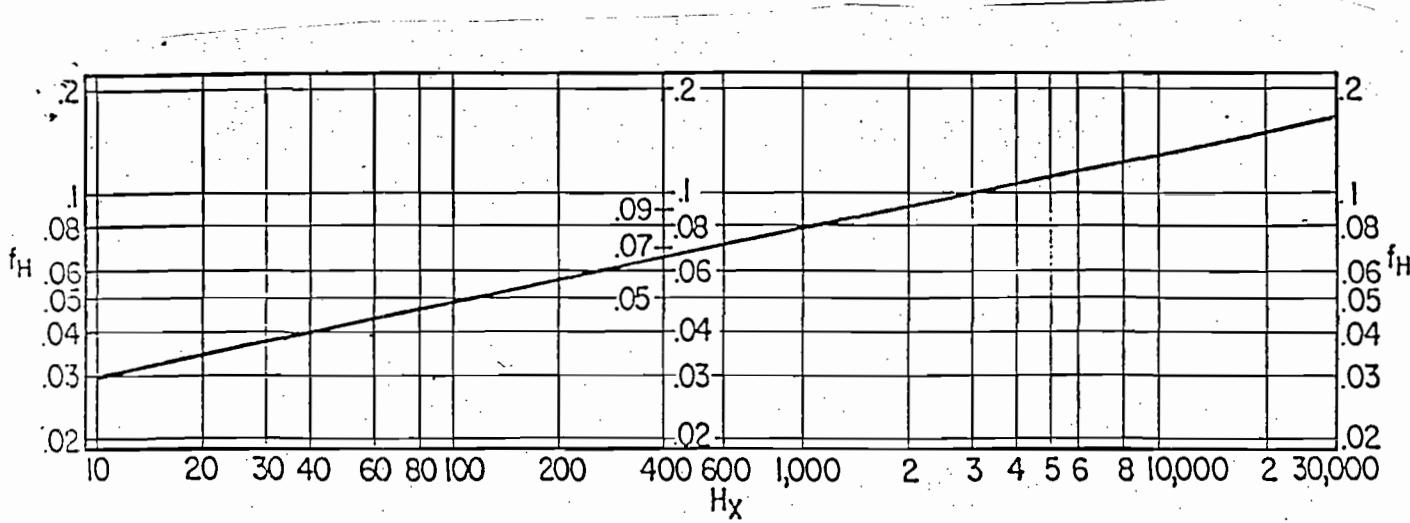


fig. 32: Détermination du facteur de friction f_H de Huntington

lement. Il s'agit de déterminer le facteur ϕ reliant la perte de charge ΔP_{v100} pour une longueur (de 100 ft), à la perte de charge fictive $\Delta P_{v'100}'$ correspondant à la phase vapeur, pour une longueur (de 100 ft), par la relation

$$\Delta P_{v100} = \Delta P_{v'100}' \times \phi^2 \quad [\text{psi}] \quad (3.6)$$

Le facteur de corrélation a été exprimé par Kern sous la forme

$$\phi = a X^b \quad (3.7)$$

où X = module de Lockhart et Martinelli

a dépend du débit massique de la vapeur et de la section (de la conduite), et b est une constante pour chaque type d'écoulement, sauf pour l'écoulement annulaire, où il dépend du diamètre de la conduite.

L'expression de ϕ est donnée pour chaque type d'écoulement dans le tableau 3.1 (de la page 13).

Le module X de Lockhart et Martinelli est défini par

$$X^2 = \frac{\Delta P_{L100}'}{\Delta P_{v'100}'}$$

où $\Delta P_{L100}'$ et $\Delta P_{v'100}'$ correspondent aux pertes fictives de charge du liquide et de la vapeur, pour une longueur de 100 ft de conduite. Ces pertes sont calculées, comme dans la première méthode, par la formule de Darcy, qui sera adoptée ici :

$$\Delta P_{L100}' = 0,000336 f_L \frac{m_L^2}{D_L^{1.85}} \quad (3.8)$$

$$\Delta P_{v'100}' = 0,000336 f_v \frac{m_v^2}{D_v^{1.85}} \quad (3.9)$$

Pour la détermination des facteurs fictifs de frottement f_L^* et f_V^* , on utilise la formule adaptée, donnant le nombre de Reynolds,

$$R'e = 6,31 \frac{m'}{\mu' D} \quad (3.10)$$

avec m' en lb/hr, μ' en C.P. et D' en po.

Pour un écoulement turbulent, ce qui est généralement le cas, on peut utiliser, selon Lockhart et Martinelli, la formule de Blazius pour chaque phase,

$$f_L^* = \frac{0,046}{R_{eL}^{0,2}} \quad \text{et} \quad f_V^* = \frac{0,046}{R_{eV}^{0,2}} \quad , \quad (3.11)$$

Ce qui donnera une nouvelle expression de X^2 :

$$X^2 = \left(\frac{m'_L}{m'_V} \right)^{1,8} \left(\frac{\rho'_V}{\rho'_L} \right) \left(\frac{\mu'_L}{\mu'_V} \right)^{0,2} \quad (3.12)$$

Connaissons X^2 , on calcule ϕ ou on le détermine, suivant le type d'écoulement, en utilisant l'équation ou la figure indiquée dans le tableau 3.1. Finalement, il n'agira de calculer

$$\Delta P'_{100} = \Delta P'_{V100} \times \phi^2 \quad [\text{psi}]$$

$$\text{et} \quad \Delta P'_{TP} = \Delta P'_{100} \times \frac{L'}{100} \quad [\text{psi}] \quad (3.13)$$

Pour les écoulements dispersé, annulaire et en bulles, il est possible de déterminer $\Delta P'_{100}$ directement à partir des figures correspondantes, de la même manière que l'on détermine ϕ^2 .

3.3 Eau d'une conduite verticale

Les écoulements stratifié et ondulé n'existent pas dans les conduites.

Pour les autres types d'écoulements, Kern a introduit la corrélation de DAVIS (6) pour calculer le module de Lockhart et Martinelli ; j'ai utilisé (dans le calcul précédent) :

$$X_0 = 0,19 \times (F_r)^{0,135} \quad (3.14)$$

où X = module de Lockhart et Martinelli

$$F_r = \text{nombre de Froude} ; \quad F_r = \frac{V'^2}{32,2 g} \quad (3.15)$$

avec $V' = \left(\frac{m'_L}{P'_L} + \frac{m'_v}{P'_v} \right) / 3600 A' \quad [\text{ft/s}] \quad (3.16)$

La méthode est identique à celle utilisée pour les conduites horizontales, mais on entre dans les diagrammes (figures 3.3, 3.4 et 3.5) avec X_0^2 et non X^2 .

L'avantage majeur de cette méthode est la détermination du type d'écoulement. En effet, l'écoulement en bâtonnets, par exemple, doit être évité autant que possible dans les installations industrielles, car il peut provoquer une fluctuation de pression et donner ainsi de fausses valeurs aux instruments de contrôle. La réduction des longueurs de conduite, l'utilisation de deux ou plusieurs conduites en parallèle, sont quelques uns des moyens utilisés pour l'éviter. Aussi, cette méthode est plus précise que celle de Chenoweth et Martin.

Cependant, elle a quelques imperfections. D'abord, pour les têtes de vapeur assez éléves, le module de Lockhart et Martinelli est souvent très faible et ne permet pas l'utilisation des diagrammes pour la détermination de ϕ^2 . Ensuite, tout comme la méthode simplifiée de Chenoweth et Martin, elle ne tient pas compte des variations de densité d'un point à l'autre de la

conduite.

D'autre part, elle ne tient pas compte des pertes singulières, comme le fait la méthode simplifiée de Rheinwald et Trouton. Comme les pertes totales de charge incluent les pertes singulières, on doit évaluer ces dernières selon une méthode approuvée.

Une première estimation consiste à dire que ces pertes sont 2,5 fois plus grandes que celles prévues pour un écoulement de liquide. (Valeur déterminée expérimentalement). Mais un calcul plus précis peut être fait en utilisant la méthode de la théorie homogène, que je donne en annexe C.

En revanche, pour les robinets et Japets la première estimation reste l'unique solution possible, jusqu'à présent en tout cas.

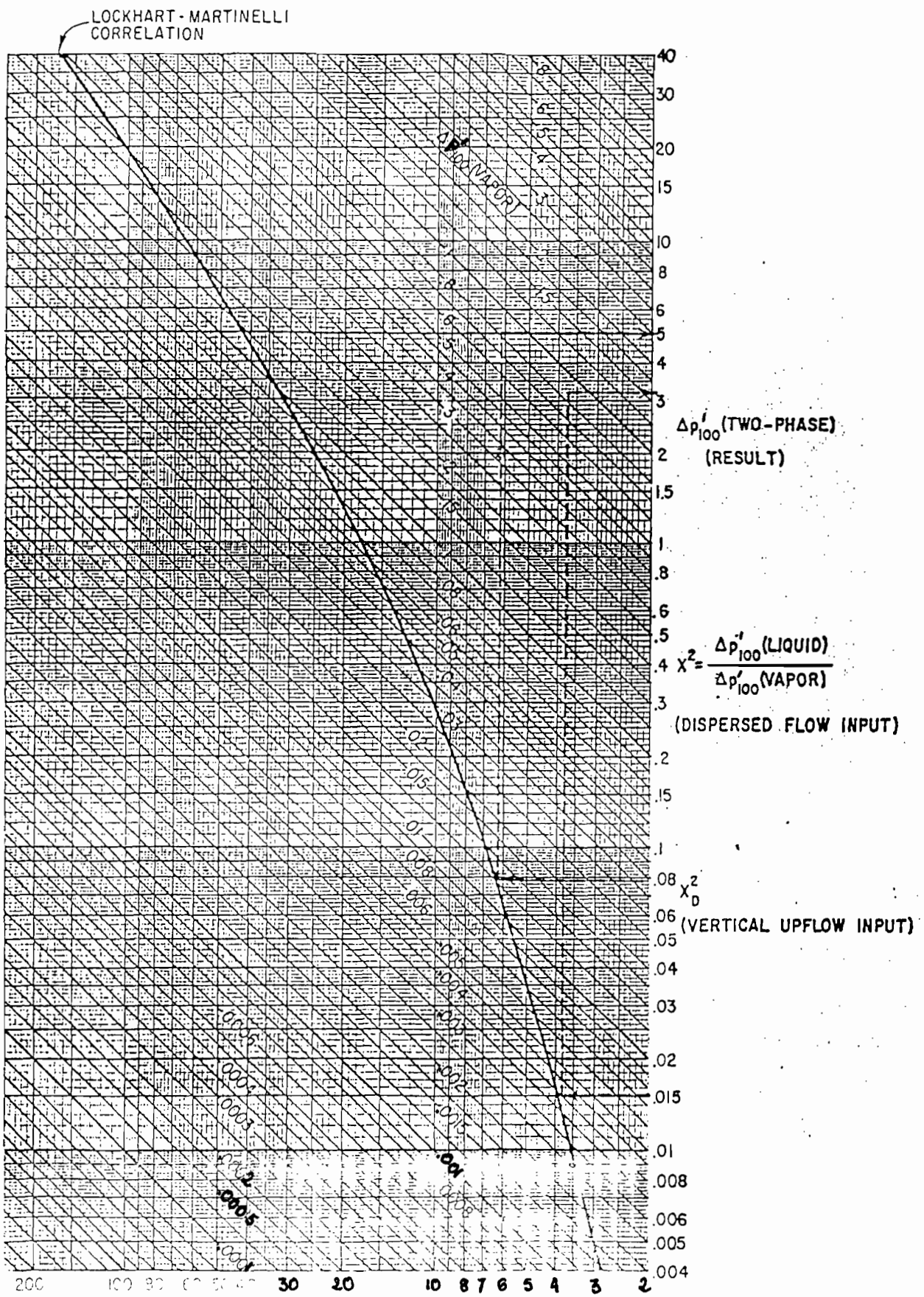


Fig. 33. Détermination de ϕ^2 et de $\Delta p'_T$
pour un écoulement dispersé.

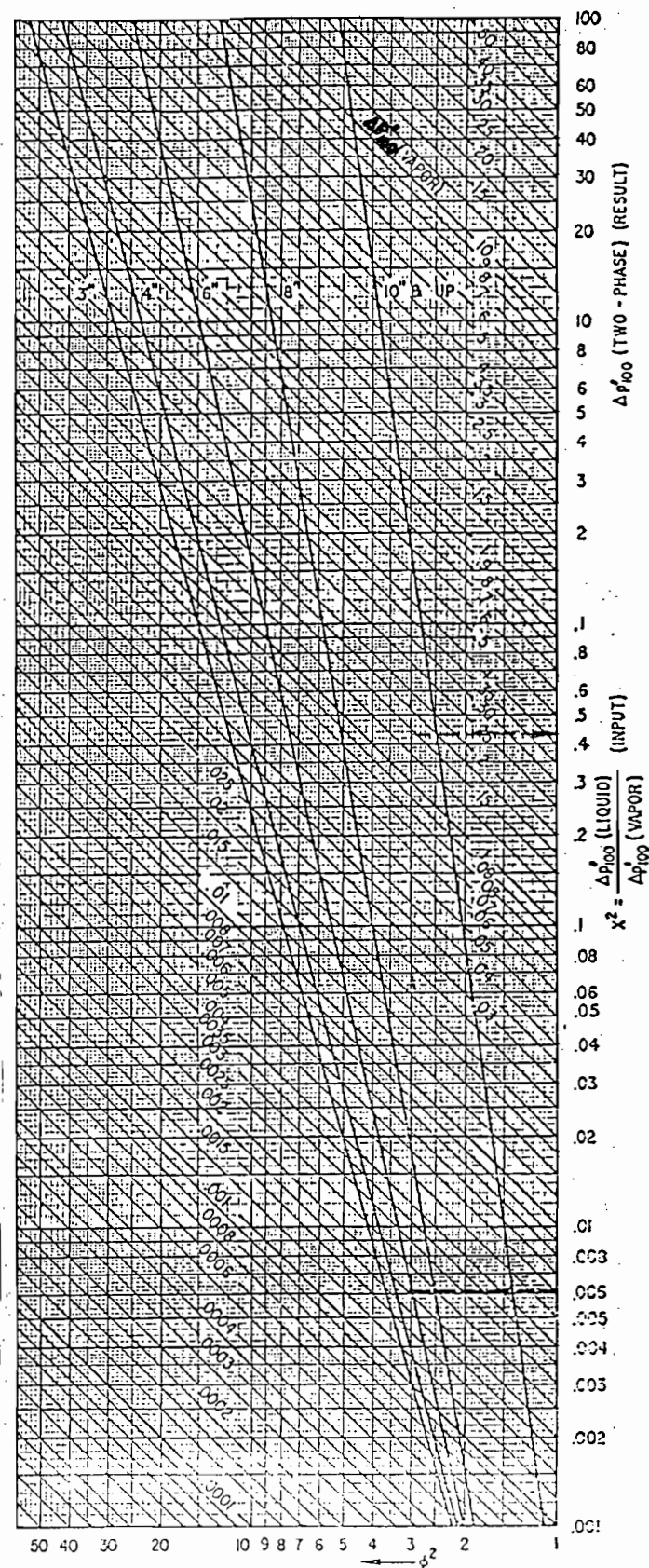


Fig. 34. Détermination de ϕ^2 et de $\Delta P'_{TP}$
pour un écoulement annulaire

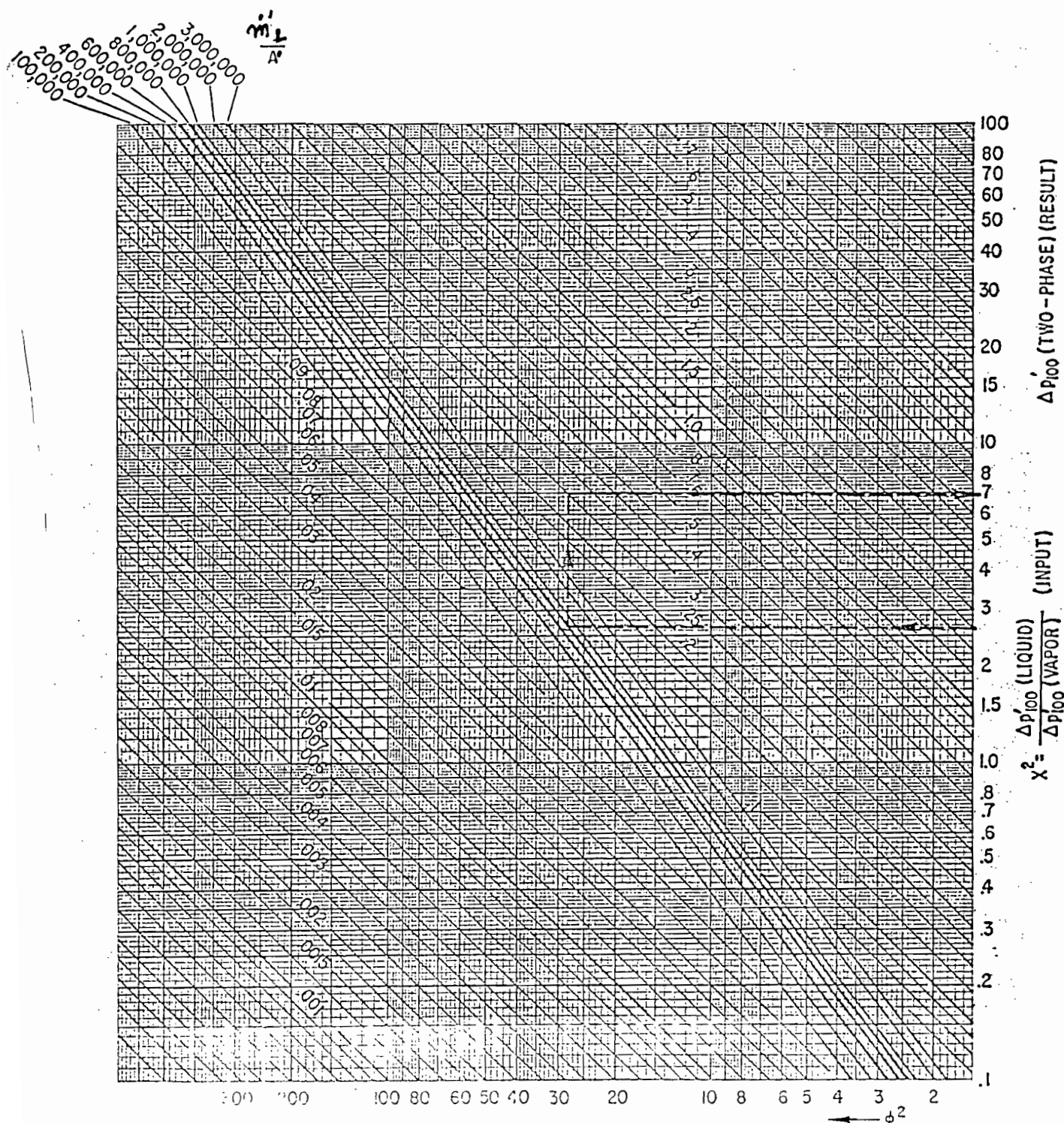


Fig. 3.5: Détermination de ϕ^2 et de $\Delta P'_TP$ pour un
écoulement biphasique en bulles

Chapitre 4 :

CALCUL DES PERTES DE CHARGE DANS UN
ECOULEMENT BI-PHASIQUE PAR LA METHODE
APPROFONDIE

4.1 Introduction:

Les deux méthodes précédentes, non seulement ne tiennent pas compte de la variation de la densité (d'un point à l'autre) de la conduite (si cette dernière est assez longue), mais ne permettent en réalité que la composante, due à la friction des pertes, de charge totales.

La méthode approfondie, que je présente dans ce chapitre, permet de tenir compte de ces variations de densité et de calculer toutes les composantes (des pertes totales, de charge).

4.2 Composantes du gradient de pression.

On plus près pertes de charge dues à la friction, il peut y exister des pertes ou gain de charge dues à la gravité pour les conduites verticales, ou des pertes dues à la variation de la quantité de mouvement, par exemple dans le cas d'une évaporation (ou d'une condensation). Donc, pour une longueur de conduite dz , le gradient de pression sera :

$$\frac{dP}{dz} = \frac{dp_a}{dz} + \frac{dp_f}{dz} + \frac{dp_g}{dz} \quad [Pa/m] \quad (41)$$

Où :

$\frac{dp}{dz}$ = gradient de pression de l'événement haphazard

$\frac{dp_a}{dz}$ = composante du gradient de pression due à la variation de la quantité de mouvement

$\frac{dp_f}{dz}$ = composante du gradient de pression due à la friction

$\frac{dP_g}{dz}$ = composante du gradient de pression due à la gravité.

C'est donc donc que la perte de charge ΔP_{pp} de l'écoulement est la somme des pertes dues à la variation de quantité de mouvement ΔP_a , des pertes par friction ΔP_f et des pertes ou gains dues à la gravité ΔP_g .

C'est pour tenir compte de toutes ces pertes qu'ADRIAN R. CERNEA (7) a élaboré une méthode de calcul en se basant surtout sur la méthode de Chenoweth et Martin ap. profondie et sur la méthode de ZUBER (8).

4.3. Méthode de calcul des pertes ΔP_a dues à une variation de quantité de mouvement:

Entre deux sections 1 et 2 d'une conduite caractérisée par un écoulement monophasique, la perte de charge due à la variation de quantité de mouvement est :

$$\int_{z_1}^{z_2} \frac{dP_a}{dz} = \Delta P_a = -\frac{1}{A} \left[\int_A (u dm)_2 - \int_A (u dm)_1 \right] [Pa] \quad (2)$$

où

u = vitesse de l'écoulement [m/s]

m = débit massique [kg/s]

A = section de la conduite [m^2]

Pour un écoulement biphasique, on procède de la même manière que dans les deux chapitres précédents, en relevant les pertes dues à la variation de la quantité de mouvement aux pertes (de la phase liquide) dues à cette même variation,

en considérant que cette phase a un débit massique égal à celui du mélange. Alors, on aura :

$$\Delta P_a = -G^2 \left[\left(\frac{w_{L0}^2}{\rho_L} \right)_2 - \left(\frac{w_{L0}^2}{\rho_L} \right)_1 \right] [Pa] \quad (4.3)$$

où :

$$G = \frac{4(m_1 + m_2)}{\pi d^2} [kg/s^2] \quad (4.4)$$

et w_{L0}^2 est un facteur qui dépend du litre du mélange, et des masses volumiques du liquide et de la vapeur. Connaissons les lits de x_1 et x_2 , de vapeur pour sections 1 et 2, on détermine w_{L0}^2 en 1 en utilisant la figure 4.1 de la page suivante, qui nous donne la méthode à utiliser :

$$- \text{pour la méthode R, on a } w_{L0}^2 = x \frac{\rho_L}{\rho_v} + 1-x \quad (4.5)$$

$$- \text{pour la méthode Q, on a } w_{L0}^2 = x^2 \frac{\rho_L}{\rho_v} + 2x(1-x) \sqrt{\frac{\rho_L}{\rho_v}} + (1-x)^2 \quad (4.6)$$

4.4. Calcul du gradient de pression dû à la friction $\frac{dp_f}{dz}$:

L'approche demeure la même, où savoi lieu la perte de charge par friction de l'écoulement à la perte par friction d'une seule phase, par un facteur de correction ϕ , sous la forme

$$\left(\frac{dp_f}{dz} \right)_{TP} = \frac{dp_f}{dz} = \phi_{L0}^2 \left(\frac{dp_f}{dz} \right)_{L0} [Pa/m] \quad (4.7)$$

$\left(\frac{dp_f}{dz} \right)_{L0}$ représente le gradient de pression dû à la friction de la phase liquide s'écoulant seule dans la conduite, à un même débit massique que celui du mélange. La même définition est utilisée pour $\left(\frac{dp_f}{dz} \right)_{v0}$ que l'on utilisera plus loin.

La méthode de Chenoweth et Grauhm, approfondie étant

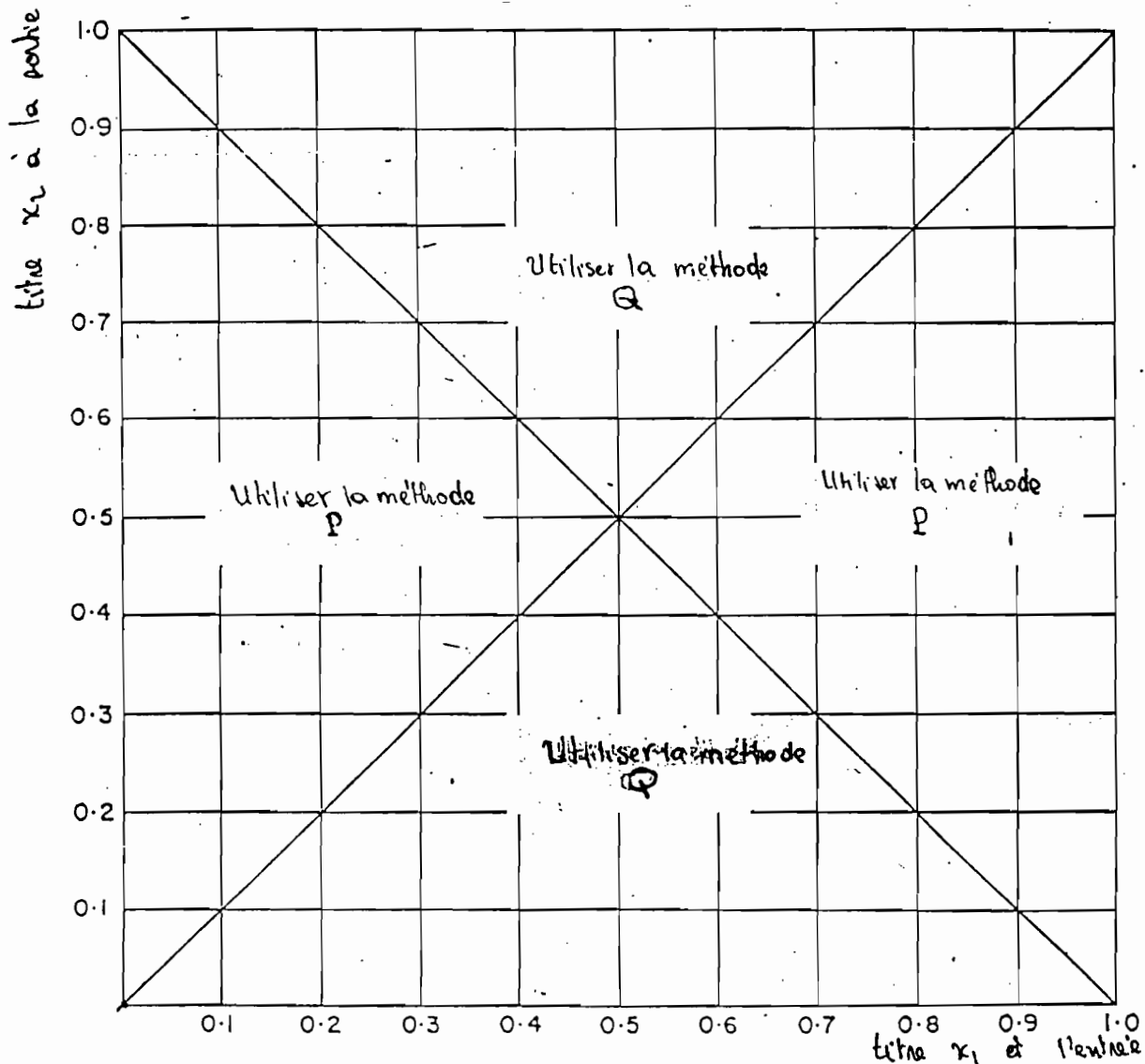


Fig 4.1 : Détermination de la méthode à utiliser pour calculer $w\%$

celle qui donne les meilleurs résultats pour les conduites de diamètre supérieur à 50 mm, elle sera utilisée ici, pour la détermination de ϕ_{L0}^2

4.4.1 Détermination du facteur de corrélation ϕ_{L0}

La figure 4.2 donne ϕ_{L0}^2 en fonction de:

$$\Gamma^2 = \frac{(\frac{dp_f}{dz})_{v0}}{(\frac{dp_f}{dz})_{L0}} \quad (4.8)$$

$$\text{et } 1 - \beta = \frac{1}{1 + \frac{\rho_v}{\rho_L} \frac{\rho_L}{\rho_v}} = \text{fraction volumique du liquide} \quad (4.9)$$

$$\beta = \frac{1}{1 + \frac{\rho_v}{\rho_L} \frac{\rho_v}{\rho_L}} = \text{fraction volumique de la vapeur.} \quad (4.10)$$

ρ_L , ρ_v et κ étant connus, il est donc facile de calculer $1 - \beta$.

En utilisant la formule de Darcy, on a :

$$\left(\frac{dp_f}{dz} \right)_{L0} = - f_{L0} \times \frac{1}{D} \times \frac{\dot{m}^2}{\rho_L A^2} = - G^2 \frac{f_{L0}}{D \rho_L} \quad (4.11)$$

et

$$\left(\frac{dp_f}{dz} \right)_{v0} = - f_{v0} \times \frac{1}{D} \times \frac{\dot{m}^2}{\rho_v A^2} = - G^2 \frac{f_{v0}}{D \rho_v} \quad (4.12)$$

En calculant les nombres fictifs de Reynolds correspondant aux phases de liquide et de vapeur

$$Re_{L0} = \frac{GD}{\mu_L} \quad \text{et} \quad Re_{v0} = \frac{GD}{\mu_v}, \quad (4.13)$$

on détermine, à partir d'un diagramme de Moody, les facteurs fictifs de friction f_{L0} et f_{v0} , et ainsi, dans la possibilité, de calculer $(\frac{dp_f}{dz})_{L0}$ et $(\frac{dp_f}{dz})_{v0}$. Ensuite, il suffit de calculer Γ^2 (équation 4.8), et, avec la valeur de $(1 - \beta)$, trouver sur la figure 4.2 (page suivante) la valeur de ϕ_{L0}^2 . Enfin, avec

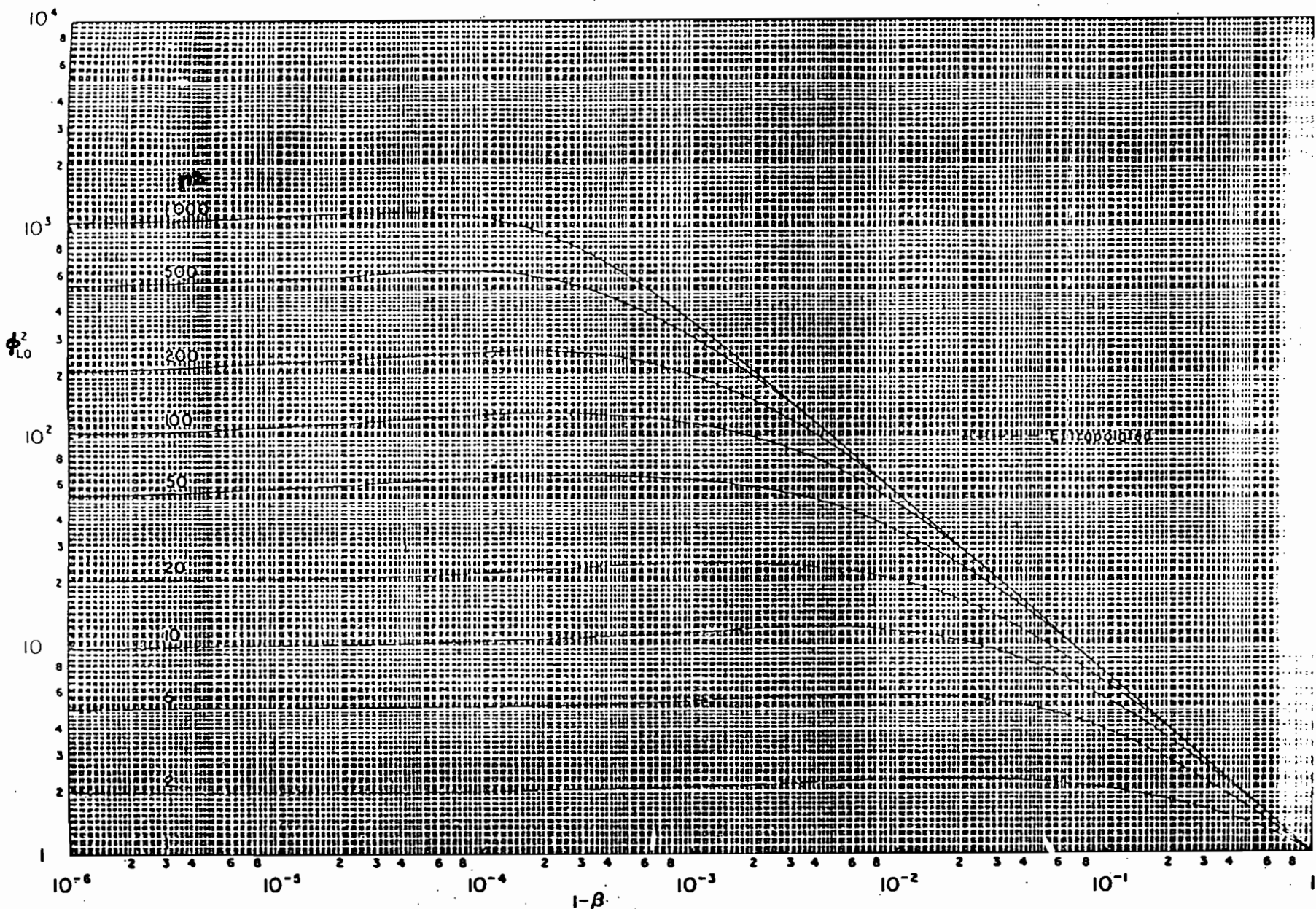


Figure 4.2 Facteur de corrélation ϕ_{lo}^2 en fonction de T^2 et $1-\beta$

l'équation 4.7, on calcule $\frac{dP_f}{dz}$.

4.4.2 Correction du gradient de pression due à la fuité

Après avoir établi les corrélations entre $\frac{dP_f}{dz}$ et $(\frac{dP_f}{dz})_{b0}$, Chenoweth et Martin ont fait des séries de calculs et mesures, dans le but de corriger $\frac{dP_f}{dz}$ calculé précédemment.

Ils ont d'abord établi une table de performance (voir page suivante, table 4.1), qui permet d'avoir une meilleure valeur pour $\frac{dP_f}{dz}$, noté $(\frac{dP_f}{dz})_{be}$ (best value). Dans cette table, on a

N = nombre de tests réalisés

s = écart-type standard

\bar{E} = facteur moyen de correction = 10⁻⁶

$$\text{avec } \bar{e} = \sum_{i=1}^N \frac{e_i}{i}$$

La meilleure valeur pour $\frac{dP_f}{dz}$ est donnée par la formule

$$(\frac{dP_f}{dz})_{be} = \bar{E} \cdot \frac{dP_f}{dz} \quad [\text{Pa/m}] \quad (4.14)$$

Ensuite, ils ont tenu compte de l'inexactitude sur $(\frac{dP_f}{dz})_{be}$, pour avoir finalement

$$\frac{dP_f}{dz} = \Delta E \cdot (\frac{dP_f}{dz})_{be} \quad [\text{Pa/m}] \quad (4.15)$$

où le facteur d'inexactitude ΔE , dépend, de s , N , du niveau de confiance C et de la probabilité P choisis.

La figure 4.3. de la page 31 donne ΔE en fonction de s et N , pour $C = 90\%$ et $P = 99\%$ (valeurs généralement utilisées).

Pour pouvoir utiliser cette méthode de correction, il faut que les valeurs de D , G , $\frac{\epsilon}{D}$, μ_V , μ_L , p_V , et p_L soient comprises dans les intervalles donnés dans le tableau

30 Table 4.1

Table de performance de Chenoweth et Martin.

ρ_L/ρ_G	$G < 32 \text{ kg}/\text{m}^3$	32 - 100	100 - 320	320 - 1000	1000 - 3200	3200 - 10000	$G > 10000 \text{ kg}/\text{m}^3$	All G values
3.2	0	0	0	26 1.03 .154	22 1.00 .072	0	0	48 1.01 .124
0.0	0	0	0	18 .90 .110 7 1.28 .160 1 2.13	20 .98 .070 2 1.21 .003	0	0	38 .94 .093 9 1.27 .142 1 2.13
0.1	0	0	0	0	0	0	0	0
0.2	0	0	0	0	0	0	0	0
0.3	0	0	0	0	0	0	0	0
0.4	0	0	0	0	0	0	0	0
0.5	0	0	0	0	0	0	0	0
0.6	0	0	0	0	0	0	0	0
0.7	0	0	0	0	0	0	0	0
0.8	0	0	0	0	0	0	0	0
0.9	0	0	0	0	0	0	0	0
1.0	0	0	0	0	0	0	0	0
10	0	0	0	104 1.27 .093	338 1.06 .093	38 .89 .085	22 .41 .122	500 1.05 .134
0.0	0	0	0	27 1.05 .085 13 1.25 .148 6 1.38 .079 5 1.32 .097 7 1.51 .034 8 1.48 .054 5 1.56 .023 10 1.40 .043 13 1.36 .034 12 1.19 .029	101 1.13 .073 42 1.24 .068 36 1.18 .088 25 1.11 .100 27 1.02 .096 24 1.05 .088 22 1.03 .094 13 .92 .088 20 .89 .067 26 .85 .047	13 1.10 .031 6 .97 .028 8 .81 .028 3 .74 .007 5 .70 .010 1 .48 0 1 .68 1 .40 6 .39 .076 1 .36	0 2 .72 .070 1 .64 0 4 .37 .071 2 .46 .005 5 .33 .115 1 .40 6 .39 .076 1 .36	141 1.11 .074 61 1.19 .100 51 1.12 .109 33 1.10 .113 43 1.05 .176 35 1.07 .140 32 .93 .112 25 1.04 .145 40 .89 .185 39 .92 .102
0.1	0	0	0	0	0	0	0	0
0.2	0	0	0	0	0	0	0	0
0.3	0	0	0	0	0	0	0	0
0.4	0	0	0	0	0	0	0	0
0.5	0	0	0	0	0	0	0	0
0.6	0	0	0	0	0	0	0	0
0.7	0	0	0	0	0	0	0	0
0.8	0	0	0	0	0	0	0	0
0.9	0	0	0	0	0	0	0	0
1.0	0	0	0	0	0	0	0	0
32	0	0	0	98 1.33 .093	135 1.29 .083	6 .63 .161	11 .23 .263	250 1.19 .193
0.0	0	0	0	56 1.29 .100 15 1.45 .093 6 1.58 .054 3 1.37 .056 4 1.31 .067 3 1.34 .035 4 1.26 .040 2 1.29 .058 4 1.20 .073 1 1.33	119 1.34 .064 7 1.04 .081 6 .84 .061 3 .90 .046 0 0 0 0 0 0	0 1 .16 1 .90 2 .27 .018 3 .15 .065 1 .44 1 .42 0 0 1 .15 0	2 .43 .190 2 .48 .079 2 .27 .018 15 .93 .253 9 .56 .427 7 .68 .436 4 1.02 .209 5 1.01 .194 2 1.29 .058 5 .79 .377 1 1.13	177 1.31 .095 25 1.20 .109 15 .93 .253 9 .56 .427 7 .68 .436 4 1.02 .209 5 1.01 .194 2 1.29 .058 5 .79 .377 1 1.13
0.1	0	0	0	0	0	0	0	0
0.2	0	0	0	0	0	0	0	0
0.3	0	0	0	0	0	0	0	0
0.4	0	0	0	0	0	0	0	0
0.5	0	0	0	0	0	0	0	0
0.6	0	0	0	0	0	0	0	0
0.7	0	0	0	0	0	0	0	0
0.8	0	0	0	0	0	0	0	0
0.9	0	0	0	0	0	0	0	0
1.0	0	0	0	0	0	0	0	0
100	0	5 1.03 .058	90 1.23 .051	52 .91 .151	32 1.28 .044	0	0	179 1.13 .110
0.0	0	0	4 1.00 .026 4 1.04 .070 6 1.42 .040 1 .95 9 1.33 .021 15 1.25 .035 7 1.78 .026 4 1.05 .062	6 1.34 .079 7 1.28 .037 5 1.05 .087 6 .50 .105 12 .84 .102 6 .81 .103 5 .76 .050 12 1.25 .032 14 1.26 .025 10 1.10 .046	32 1.28 .044 0 0 0 0 0 0 0 0 0 0	0 0 0 0 0 0 0 0 0 0 0	0 0 0 0 0 0 0 0 0 0 0	42 1.26 .060 11 1.18 .067 11 1.24 .092 16 .90 .211 27 1.05 .112 13 1.03 .123 18 1.02 .095 15 1.20 .057 16 1.24 .034 10 1.10 .046
0.1	0	0	0	0	0	0	0	0
0.2	0	0	0	0	0	0	0	0
0.3	0	0	0	0	0	0	0	0
0.4	0	0	0	0	0	0	0	0
0.5	0	0	0	0	0	0	0	0
0.6	0	0	0	0	0	0	0	0
0.7	0	0	0	0	0	0	0	0
0.8	0	0	0	0	0	0	0	0
0.9	0	0	0	0	0	0	0	0
1.0	0	0	0	0	0	0	0	0
> 320	0	164 .94 .132	212 1.06 .152	203 1.05 .262	98 1.29 .209	1 1.47	0	678 1.04 .200
0.0	0	0	31 .48 .328 34 .90 .093 20 .68 .102 24 .89 .112 23 1.14 .119 16 1.17 .079 21 1.21 .166 17 .98 .024 13 .98 .051 30 .86 .037	152 1.16 .258 11 1.10 .109 10 .90 .362 20 1.20 .062 17 1.19 .054 20 1.14 .037 10 1.14 .015 11 1.20 .020 14 1.24 .013 17 .95 .141	98 1.29 .209 0 0 0 0 0 0 0 0 0 0	1 1.47	0	282 1.17 .255 51 .88 .140 68 .94 .184 56 .89 .182 46 1.07 .130 62 1.10 .081 34 1.16 .088 23 1.08 .048 29 1.08 .077 47 .89 .092
0.1	0	0	0	0	0	0	0	0
0.2	0	0	0	0	0	0	0	0
0.3	0	0	0	0	0	0	0	0
0.4	0	0	0	0	0	0	0	0
0.5	0	0	0	0	0	0	0	0
0.6	0	0	0	0	0	0	0	0
0.7	0	0	0	0	0	0	0	0
0.8	0	0	0	0	0	0	0	0
0.9	0	0	0	0	0	0	0	0
1.0	0	0	0	0	0	0	0	0
All ρ_L/ρ_G values								
x	$G < 32 \text{ kg}/\text{m}^3$	32 - 100	100 - 320	320 - 1000	1000 - 3200	3200 - 10000	$G > 10000 \text{ kg}/\text{m}^3$	All G values
0.0	0	35 .89 .309 38 .92 .093 20 .68 .102 25 .89 .110 23 1.14 .119 16 1.17 .079 21 1.21 .166 17 .98 .024 13 .98 .051 30 .86 .037	259 1.16 .211 51 1.21 .073 28 1.17 .066 29 1.18 .249 26 .70 .248 32 1.22 .047 29 .77 .162 23 1.06 .144 17 1.10 .130 27 1.00 .119	370 1.24 .128 51 1.21 .073 28 1.17 .066 29 1.18 .249 26 .70 .248 32 1.22 .047 29 .77 .162 23 1.06 .144 17 1.10 .130 27 1.00 .119	14 1.12 .045 7 1.00 .037 9 .82 .030 28 1.00 .100 3 1.74 .007 7 .66 .046 2 1.05 .088 2 1.55 .092 1 .42 0	2 .43 .190 4 .59 .113 3 .36 .181 3 .15 .065 5 .27 .299 2 .46 .005 9 1.07 .119 5 .35 .115 8 1.04 .158 1 .40 7 .34 .164 1 .36	680 1.18 .180 157 1.08 .141 146 1.03 .172 114 .91 .214 123 .99 .182 94 1.07 .119 89 1.04 .158 65 1.10 .102 90 1.00 .169 97 .93 .097	
0.1	0	169 .94 .130	302 1.11 .134	483 1.13 .198	623 1.16 .122	45 .86 .116	33 .34 .226	1655 1.08 .172
All ρ_L/ρ_G values and all x values								
$G < 32 \text{ kg}/\text{m}^3$	32 - 100	100 - 320	320 - 1000	1000 - 3200	3200 - 10000	$G > 10000 \text{ kg}/\text{m}^3$	All G values	
0	169 .94 .130	302 1.11 .134	483 1.13 .198	623 1.16 .122	45 .86 .116	33 .34 .226	1655 1.08 .172	
$N \bar{E} s$								

$N \bar{E} s$	$N \bar{E} s$							
0	169 .94 .130	302 1.11 .134	483 1.13 .198	623 1.16 .122	45 .86 .116	33 .34 .226	1655 1.08 .172	

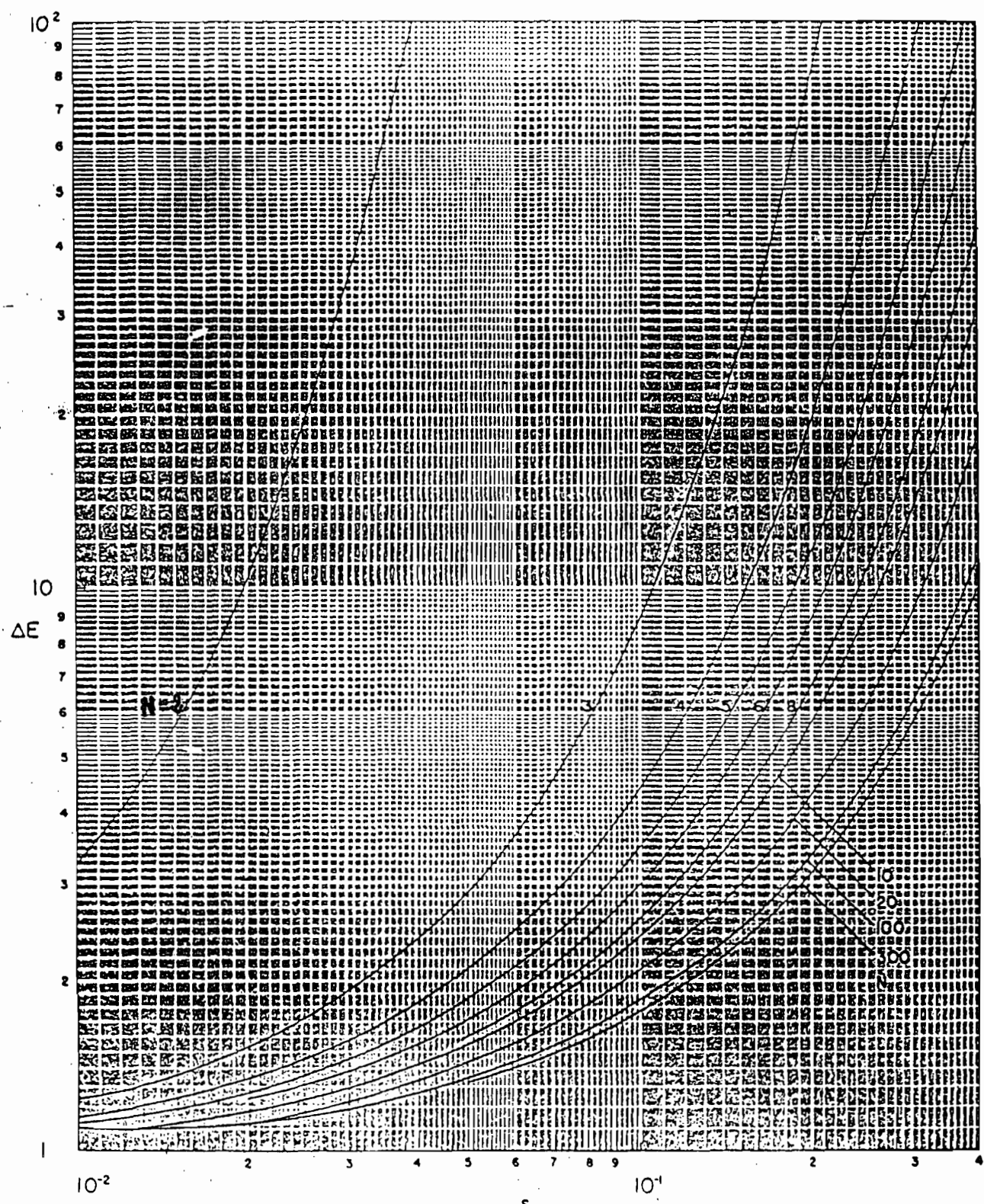


Fig. 4.3 : Facteur d'overestimation en fonction de N et s
pour un niveau de confiance $C = 90\%$ et une
probabilité $P = 99\%$ pour la corrélation
de Chenoweth et Martin

ci-dessous, et que l'écoulement soit adiabatique.

Paramètre	Valeur minimale	Valeur maximale
D	50 mm	305 mm
G	32 kg/m ³ s	10800 kg/m ³ s
$\frac{E}{D}$	$2,5 \cdot 10^{-5}$	$5 \cdot 10^{-2}$
μ_v	$1,2 \cdot 10^{-5}$ Pa.s	$2,27 \cdot 10^{-5}$ Pa.s
μ_L	$7,4 \cdot 10^{-5}$ Pa.s	$2,80 \cdot 10^{-4}$ Pa.s
ρ_v	0,5 kg/m ³	93 kg/m ³
ρ_L	612 kg/m ³	960 kg/m ³

Table 4.2 : Valeurs des paramètres utilisés dans les tests sur la corrélation de Chenoweth et Martin.

Je présente la procédure de calcul sous forme d'algorithme, dans la page suivante.

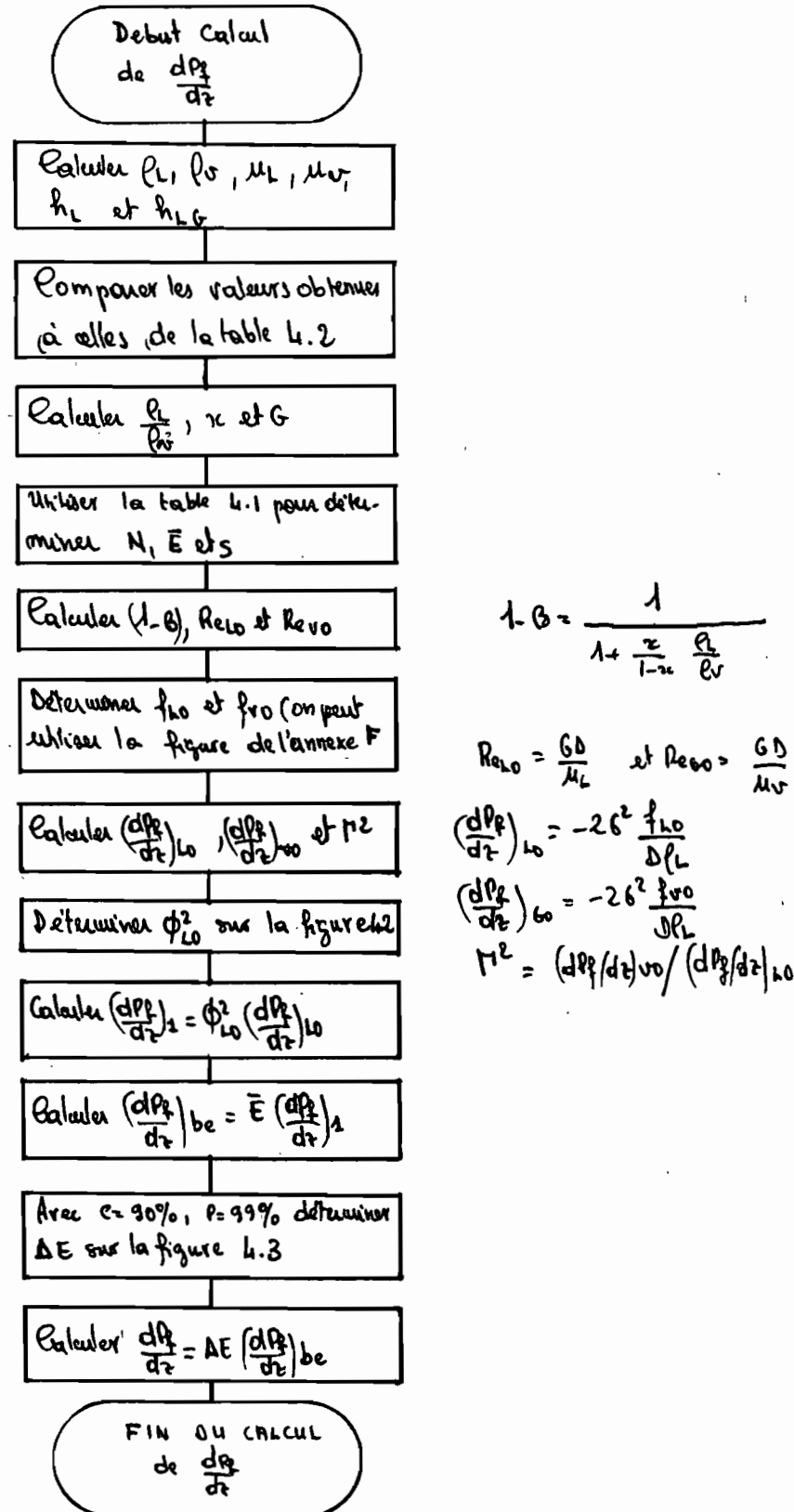
4.5 Méthode de calcul du gradient de pression due à la gravité

Le gradient est souvent important dans les conduites verticales suffisamment longues (ou de grand diamètre). Il est donné par l'équation

$$\frac{dP_g}{dz} = - \bar{\rho} g \sin \theta \quad [Pa/m] \quad (4.16)$$

où : - g = accélération de gravité

- θ = angle d'inclinaison de la conduite par rapport à



$$1-B = \frac{1}{1 + \frac{\pi}{1-n_c} \frac{P_L}{P_S}}$$

$$R_{e,L,0} = \frac{GD}{M_L} \quad \text{et} \quad R_{e,S,0} = \frac{GD}{M_S}$$

$$(\frac{dP_f}{dz})_{L,0} = -2\beta^2 \frac{f_{L,0}}{DP_L}$$

$$(\frac{dP_f}{dz})_{S,0} = -2\beta^2 \frac{f_{S,0}}{DP_S}$$

$$r^2 = (dP_f/dz)_{S,0} / (dP_f/dz)_{L,0}$$

Fig. 4.4. Algorithme de calcul de $\frac{dP_f}{dz}$

l'horizontal. Θ est positif pour un écoulement allant vers le haut.

$$-\bar{\rho} = \frac{\rho_L}{\rho_V} \frac{1 + V.R. / Y}{1 + Y / V.R.} \quad (4.17)$$

$$- Y = \frac{\beta}{1 - \beta} = \frac{x}{1 - x} \frac{\rho_L}{\rho_V} \quad (4.18)$$

- V.R. est le rapport des vitesses moyennes des deux phases, et est évalué par la méthode de ZUBER :

$$V.R. = Y \frac{(1-d)}{d} \quad (4.19)$$

avec: $d = \frac{\beta}{1,13 + c_1} = \text{fraction du vide}$

$$\text{ou } c_1 = \frac{1,41}{V_H} \left[\sigma g (\rho_L - \rho_V) / \rho_L^2 \right]^{1/4} \quad (4.20)$$

σ = tension superficielle en N/m

$$V_H = \frac{G}{\rho_H} = \text{vitesse du mélange homogène} \quad (4.21)$$

$$\rho_H = \beta \rho_V + (1 - \beta) \rho_L = \text{densité homogène} \quad (4.22)$$

De plus, des tests ont été faits pour établir la table de performance de la page suivante (table 4.3), pour avoir une meilleure valeur de V.R., et, par là, une meilleure valeur de $\frac{d}{1-d}$.

La table 4.3 et la figure 4.5 s'utilisent respectivement comme la table 4.2 et la figure 4.3 vu précédemment.

Dans l'équation 4.17, on devra utiliser un rapport de vitesses V.R. corrigé de la manière suivante:

$$(V.R.)_1 = Y \frac{(1-d)}{d} \quad (4.23)$$

$$(V.R.)_{b_e} = \bar{E} (V.R.) \quad (4.24)$$

$$\text{et } V.R. = \Delta E (V.R.)_{b_e}. \quad (4.25)$$

	$G < 200 \text{ kg/m}^3$	$200 \leq G < 400$	$400 \leq G < 700$	$700 \leq G < 1000$	$1000 \leq G < 1500$	$G \geq 1500 \text{ kg/m}^3$	ALL G VALUES
$0 \leq \alpha_1 - \beta_1 \leq 0$	0	1 .50	7 1.45 .180	20 1.42 .057	34 1.37 .204	14 1.69 .347	76 1.43 .220
$55 \text{ Pa/Pa} < 10$	0	0	6 1.48 .046	15 1.46 .051	18 1.53 .226	0	37 1.51 .163
$105 \text{ Pa/Pa} < 14$	0	0	2 1.77 .043	5 1.35 .067	12 1.30 .117	7 1.46 .150	26 1.42 .120
$145 \text{ Pa/Pa} < 22$	0	1 .50	1 .54	0	3 .92 .141	6 2.12 .405	11 1.31 .444
$325 \text{ Pa/Pa} < 55$	0	0	0	0	0	0	0
$555 \text{ Pa/Pa} < 100$	0	0	0	0	1 .57	1 1.17	2 .41 .156
$0 < \alpha_1 - \beta_1 \leq 4$	4 .65 .059	11 .77 .048	22 1.39 .097	34 1.24 .109	42 1.14 .066	28 1.14 .078	145 1.14 .122
$55 \text{ Pa/Pa} < 10$	0 .65 .059	0 .79 .030	6 1.43 .074	11 1.49 .037	10 1.50 .035	0	44 1.14 .167
$105 \text{ Pa/Pa} < 14$	0	0	12 1.34 .082	10 1.19 .091	10 1.21 .058	6 1.10 .016	38 1.24 .077
$145 \text{ Pa/Pa} < 22$	0	2 .65 .050	4 1.21 .110	3 1.39 .023	0	6 1.32 .125	15 1.10 .164
$325 \text{ Pa/Pa} < 55$	0	0	0	10 1.01 .120	22 1.05 .068	15 1.04 .047	47 1.03 .077
$555 \text{ Pa/Pa} < 100$	0	0	0	0	0	1 1.24	1 1.24
$0.4 < \alpha_1 - \beta_1 \leq 6$	13 .72 .056	10 .85 .025	24 1.24 .092	42 1.24 .065	37 1.18 .050	29 1.23 .076	163 1.12 .100
$55 \text{ Pa/Pa} < 10$	11 .70 .054	6 .83 .024	4 1.71 .047	2 1.56 .036	0	0	23 .98 .162
$105 \text{ Pa/Pa} < 14$	2 .61 .031	9 .87 .009	9 1.13 .083	4 1.17 .050	6 1.21 .018	1 1.18	35 1.06 .080
$145 \text{ Pa/Pa} < 22$	0	2 .86 .007	8 1.16 .045	4 1.16 .033	4 1.21 .029	6 .99 .060	22 1.11 .062
$325 \text{ Pa/Pa} < 55$	0	0	3 1.25 .076	25 1.29 .051	12 1.13 .025	3 1.16 .015	43 1.22 .050
$555 \text{ Pa/Pa} < 100$	0	1 .72	0	3 1.20 .134	15 1.21 .071	21 1.29 .071	40 1.23 .087
$0.2 < \alpha_1 - \beta_1 \leq 4$	9 .41 .027	11 1.00 .038	8 1.17 .058	20 1.37 .060	31 1.24 .065	23 1.19 .070	102 1.17 .089
$55 \text{ Pa/Pa} < 10$	2 .73 .009	0	0	0	0	0	8 .73 .009
$105 \text{ Pa/Pa} < 14$	7 .43 .014	1 .90	1 1.39	0	0	0	9 .49 .070
$145 \text{ Pa/Pa} < 22$	0	7 1.02 .020	9 1.06 .023	0	9 1.13 .034	10 1.00 .023	31 1.05 .038
$325 \text{ Pa/Pa} < 55$	0	0	2 1.36 .002	11 1.37 .014	5 1.37 .015	1 1.28	19 1.36 .015
$555 \text{ Pa/Pa} < 100$	0	3 1.00 .050	0	9 1.37 .018	17 1.27 .074	12 1.37 .020	41 1.30 .043
$0.1 < \alpha_1 - \beta_1 \leq 2$	0	13 1.03 .041	4 1.07 .019	1 1.51 .039	11 1.12 .071	9 .94 .039	40 1.07 .071
$55 \text{ Pa/Pa} < 10$	0	0	0	0	0	0	0
$105 \text{ Pa/Pa} < 14$	0	4	0	0	0	0	0
$145 \text{ Pa/Pa} < 22$	0	6 1.00 .037	4 1.07 .019	0	3 1.02 .026	5 .49 .027	18 .99 .043
$325 \text{ Pa/Pa} < 55$	0	0	0	0	0	0	0
$555 \text{ Pa/Pa} < 100$	0	7 1.06 .042	0	3 1.51 .039	8 1.17 .075	4 1.01 .027	22 1.14 .076
$0.05 < \alpha_1 - \beta_1 \leq 1$	0	0	0	0	0	0	0
$55 \text{ Pa/Pa} < 10$	0	0	0	0	0	0	0
$105 \text{ Pa/Pa} < 14$	0	0	0	0	0	0	0
$145 \text{ Pa/Pa} < 22$	0	0	0	0	0	0	0
$325 \text{ Pa/Pa} < 55$	0	0	0	0	0	0	0
$555 \text{ Pa/Pa} < 100$	0	0	0	0	0	0	0
$\alpha_1 - \beta_1 > 0.05$	0	0	0	0	0	0	0
$55 \text{ Pa/Pa} < 14$	0	0	0	0	0	0	0
$105 \text{ Pa/Pa} < 18$	0	0	0	0	0	0	0
$145 \text{ Pa/Pa} < 22$	0	0	0	0	0	0	0
$325 \text{ Pa/Pa} < 55$	0	0	0	0	0	0	0
$555 \text{ Pa/Pa} < 100$	0	0	0	0	0	0	0

N E I N E I N E I N E I N E I N E I N E I N E I

All $\alpha_1 - \beta_1$ values

	$G < 200 \text{ kg/m}^3$	$200 \leq G < 400$	$400 \leq G < 700$	$700 \leq G < 1000$	$1000 \leq G < 1500$	$G \geq 1500 \text{ kg/m}^3$	ALL G VALUES
$55 \text{ Pa/Pa} < 10$	21 .69 .057	15 .41 .029	14 1.67 .060	24 1.47 .046	24 1.52 .182	0	106 1.19 .186
$105 \text{ Pa/Pa} < 14$	9 .83 .020	10 .87 .009	24 1.29 .095	23 1.72 .078	28 1.28 .089	14 1.30 .117	108 1.18 .168
$145 \text{ Pa/Pa} < 22$	0	19 .91 .043	22 1.09 .090	7 1.26 .054	19 1.09 .075	31 1.20 .259	97 1.10 .167
$325 \text{ Pa/Pa} < 55$	0	0	5 1.30 .062	44 1.23 .082	39 1.11 .065	19 1.08 .048	109 1.16 .076
$555 \text{ Pa/Pa} < 100$	0	11 1.01 .044	0	15 1.36 .116	41 1.20 .090	39 1.28 .046	104 1.23 .091

N E I N E I N E I N E I N E I N E I N E I

All $\alpha_1 - \beta_1$ values and all Pa/Pa values

	$G < 200 \text{ kg/m}^3$	$200 \leq G < 400$	$400 \leq G < 700$	$700 \leq G < 1000$	$1000 \leq G < 1500$	$G \geq 1500 \text{ kg/m}^3$	ALL G VALUES
$55 \text{ Pa/Pa} < 14$	30 .73 .061	94 .49 .071	65 1.29 .104	119 1.30 .085	195 1.23 .117	103 1.22 .150	526 1.17 .132

Table 4.3. Table de performance de Zuber

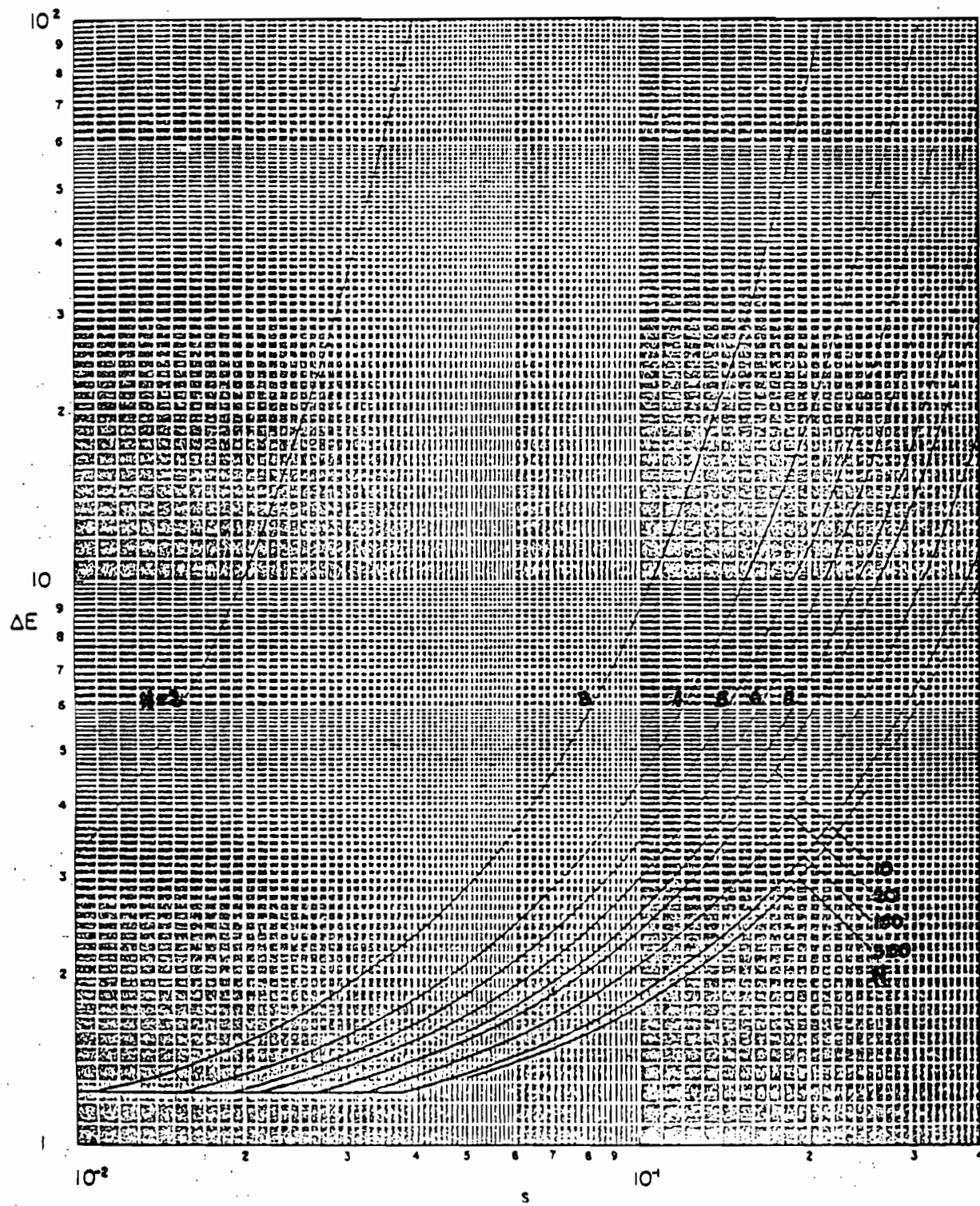


Fig. h.5: Facteur d'inexactitude ΔE en fonction de N_s
pour un niveau de confiance $C = 90\%$ et une
probabilité $P = 99\%$ pour la corrélation de
Zuber.

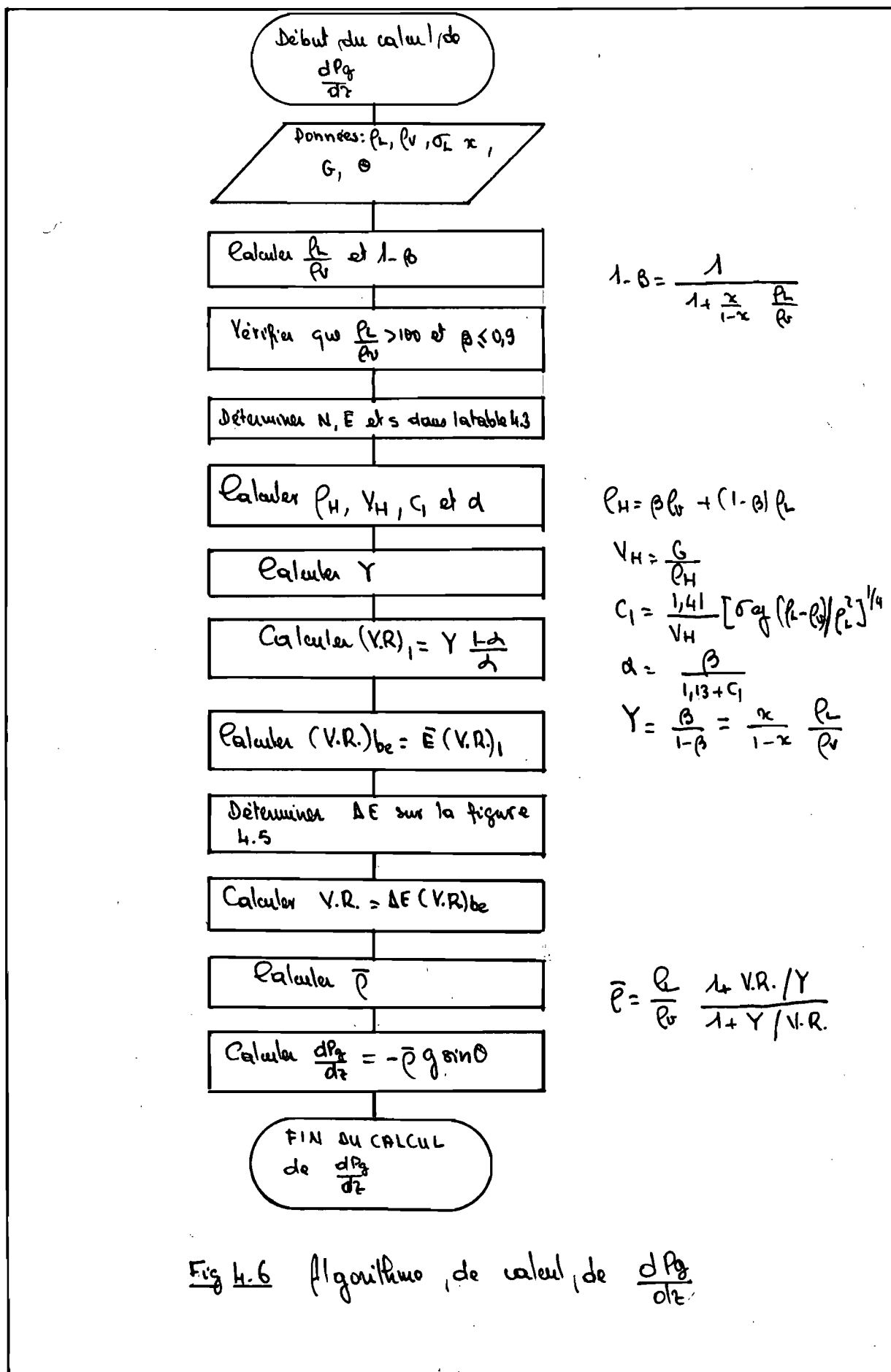
Il est important de noter que la méthode de Zuber ne s'applique que si :

$$- \frac{P_L}{P_G} > 100$$

$$- \beta \leq 0,9.$$

Dans la plupart des cas, ces conditions sont satisfaites. En outre, la méthode n'est pas recommandée pour $M_L > 0,01$ Pas.

Je présente la procédure de calcul de $\frac{dP_g}{dt}$ sous forme d'algorithme à la page suivante.



4.6 Procédure utilisée pour le calcul de la perte totale de charge $\Delta P_{Tp} (= \Delta P)$ de l'éoulement.

On utilisant les méthodes de calcul de ΔP_a , $\frac{dP_f}{dz}$ et $(\frac{dP_g}{dz})_k$, on calcule la perte de charge totale de l'éoulement biphasique d'un point m à un point n, d'une conduite de diamètre D, en suivant les étapes suivantes:

- 1) D'abord, il faut connaître les conditions d'éoulement, i.e. m_i, P, T, η_c et h , au point m ou au point n. Nous allons supposer qu'elles sont connues au point $k = m$.
- 2) Trouver les propriétés du mélange ($\rho_L, \rho_v, \mu_L, \mu_v, h_L$ et h_{Lg}) correspondant à la pression P .

Pour cela, on peut utiliser les tables données en annexe B.

- Calculer le titre η_c du mélange s'il n'est pas connu, en sachant qu'entre deux sections 1 et 2 de la conduite, il s'exprime de la façon suivante

$$\eta_c = \frac{h_{L2} - h_{L1}}{h_{L0,1}} \quad (\text{éoulement adiabatique})$$

- 3) Calculer $(\frac{dP_f}{dz})_k$ comme montré dans la figure 4.4.

- 4) Si l'éoulement n'est pas horizontal, calculer $(\frac{dP_g}{dz})_k$ comme montré dans la figure 4.6

- 5) Calculer $(w_{L0}^2)_k$ comme montré dans la section 4.3.

- 6) Choisir Δz_k et calculer ΔP_k , avec

$$\Delta P_k = \Delta z_k \left[\left(\frac{dP_f}{dz} \right)_k + \left(\frac{dP_g}{dz} \right)_k + \left(\frac{dP_a}{dz} \right)_k \right] [P_a] \quad (4.6)$$

- Δz_k doit être choisi tel que $\frac{\Delta P_k}{P_k} < 5\%$.

$$- \left(\frac{dp_g}{dz} \right)_{k+1} = \frac{\Delta P_k}{\Delta z_k} \quad [\text{Pa/m}] \quad (4.27)$$

- Pour $k=1$, on ne tient pas compte de $\left(\frac{dp_g}{dz} \right)_k$

7°) Calculer $P_{k+1} = P_k + \Delta P_k$

8°) Calculer les propriétés du mélange ($P_L, P_V, \mu_L, \mu_V, \rho_L, \rho_V$) correspondant à P_{k+1}

9°) Calculer $\left(\frac{dp_g}{dz} \right)_{k+1}$ en utilisant la figure 4.4

10°) Si l'écoulement n'est pas horizontal, calcul $\left(\frac{dp_g}{dz} \right)_{k+1}$ à l'aide de la figure 4.6.

11°) Calculer $(w_{L0}^2)_{k+1}$ et $\Delta P_{k+1} = -G^2 \left[\left(\frac{w_{L0}^2}{P_L} \right)_{k+1} - \left(\frac{w_{L0}^2}{P_L} \right)_k \right]$ comme montré dans la section 4.3

12°) Calculer $(\Delta z_r)_k = \frac{\Delta P_k - \Delta P_{k+1}}{\frac{1}{2} \left[\left(\frac{dp_g}{dz} \right)_{k+1} + \left(\frac{dp_g}{dz} \right)_k + \left(\frac{dp_g}{dz} \right)_k + \left(\frac{dp_g}{dz} \right)_{k+1} \right]} \quad (4.28)$

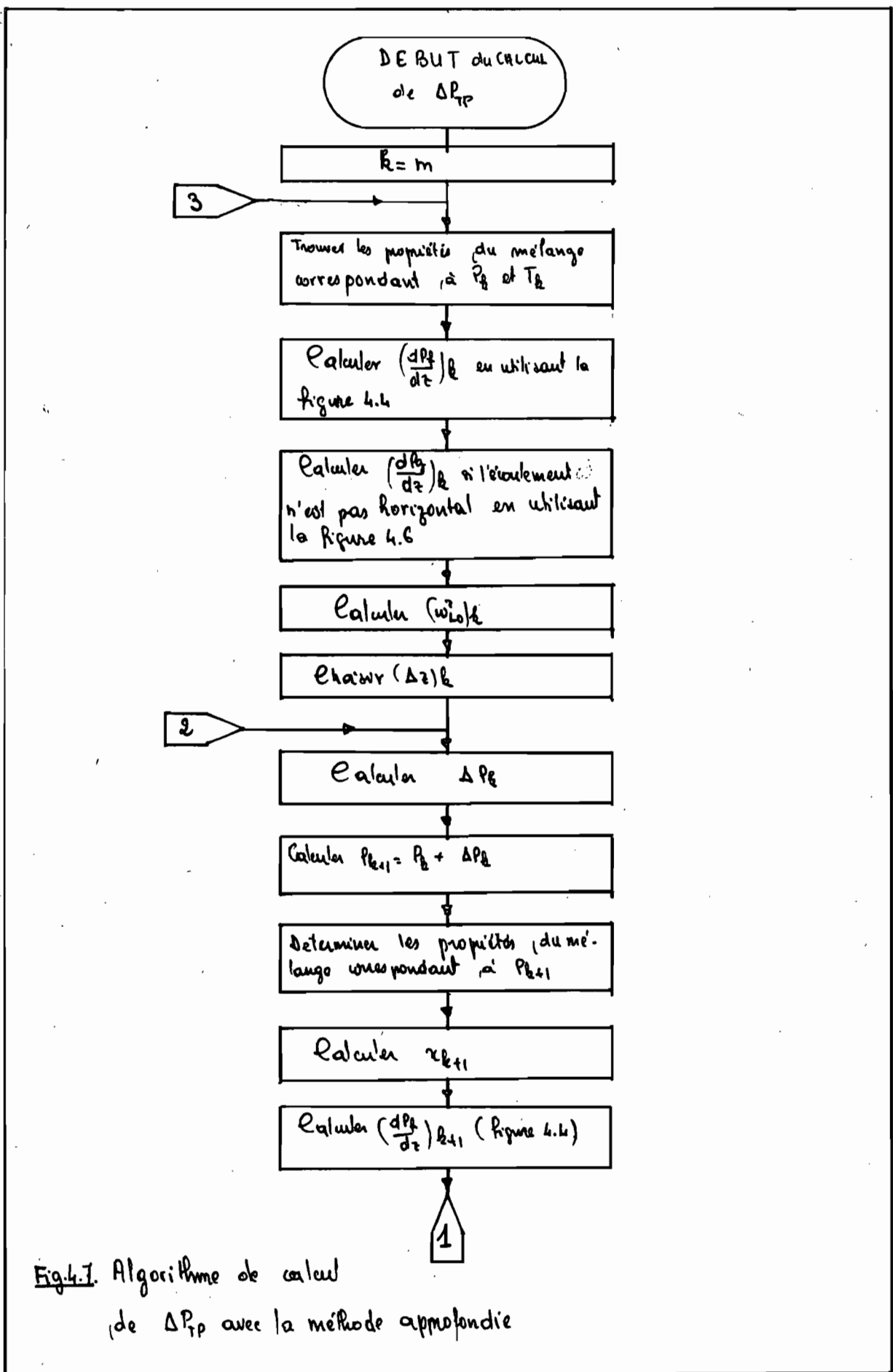
Si $(\Delta z_r)_k$ est différent de $(\Delta z)_k$ choisi au départ, on prend sa valeur pour recommencer le processus à partir de l'étape 8°). On procédera ainsi par essai et erreur jusqu'à avoir $(\Delta z_r)_k \approx \Delta z_k$

13°) La future section, à considérer sera alors la section $z_{k+1} = z_k + \Delta z_k$, avec une pression P_{k+1} .

On reprend la même démarche pour trouver P_{k+2} et z_{k+2} , P_{k+3} et z_{k+3} , et ainsi de suite, jusqu'à avoir la section z_n .

Alors la perte totale de charge sera $|\Delta P| = P_m - P_n \quad [\text{Pa}]$.

Now mettons cette procédure sous forme d'algorithme à la figure 4.7.



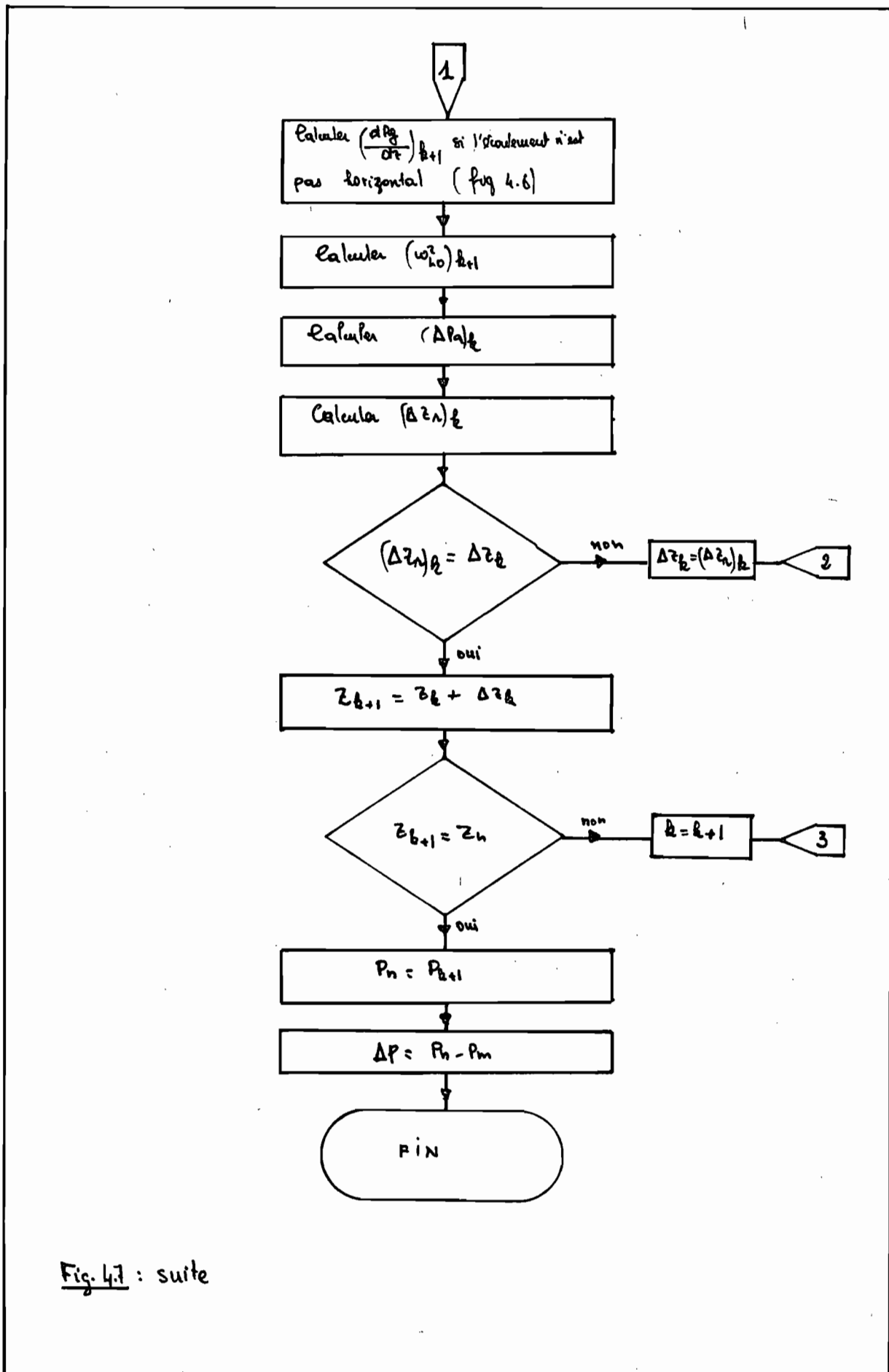


Fig. 4.7 : suite

Tout comme la précédente, cette méthode approfondie, utilisée telle qu'exposée, ne tient pas compte des pertes de charge singulières.

La théorie de l'écoulement homogène et la théorie de CHISHOLM-SUTHERLAND (g) présentées en annexe permettent le calcul pour les courbes. La théorie de l'écoulement homogène est aussi utilisée pour les pertes singulières dans les robinets et vannes.

Calcul du diamètre d'une conduite caractérisée par un écoulement biphasique

Dans les industries où l'écoulement biphasique est presque présent partout, il peut y arriver que l'ingénieur ait besoin de faire un calcul de vérification du diamètre, voire même un dimensionnement d'une conduite caractérisée par un écoulement biphasique. alors, il aura besoin d'une méthode de calcul, et, c'est là ce besoin que répond cette partie du projet.

La méthode présentée ici, comme la précédente, - qui en est d'ailleurs un prérequis -, utilise une technique itérative.

Connaisant la pression P et le débit x à l'entrée (m) et à la sortie (n), et la longueur totale Δz d'une conduite (incluant les longueurs équivalentes des accessoires, du système de tuyauterie), le diamètre D est donné par la formule suivante :

$$D^{4,8} = K_1 e^{[t \ln(MN)]} - K_2 D^{0,8} \quad [m] \quad (5.1)$$

où :

$$M = \left(\frac{\mu_L^{0,2}}{\rho_L} \right)_m (\phi_{L0}^2)_m \quad (5.2)$$

$$N = \left(\frac{\mu_L^{0,2}}{\rho_L} \right)_n (\phi_{L0}^2)_n \quad (5.3)$$

K_1 et K_2 dépendent de la position de la conduite

Chapitre 5

METHODE DE CALCUL DU DIAMETRE
D'UNE CONDUITE CARACTERISEE PAR
UN ECOULEMENT BIPHASICHE

- Pour une conduite horizontale,

$$(54) \quad K_1 = - \frac{0,185 (\Delta z) m^{1,8}}{\Delta P} \quad \text{avec } \Delta P = P_n - P_m$$

$$(55) \quad K_2 = \frac{3,24 m^2 (\Delta w_{L0}^2)}{[(\rho_L)_m + (\rho_L)_n] \Delta P} \quad \text{avec } \Delta w_{L0}^2 = (w_{L0}^2)_n - (w_{L0}^2)_m$$

- Pour une conduite verticale, le gradient de pression dû à la gravité peut être assez important, et on en tient compte:

$$(56) \quad K_1 = - \frac{0,185 (\Delta z) m^{1,8}}{\Delta P - \frac{\Delta z}{2} \left[\left(\frac{dp_g}{dz} \right)_m + \left(\frac{dp_g}{dz} \right)_n \right]}$$

$$(57) \quad K_2 = \frac{3,24 m^2 (\Delta w_{L0}^2)}{[(\rho_L)_m + (\rho_L)_n] \left[\Delta P - \frac{\Delta z}{2} \left[\left(\frac{dp_g}{dz} \right)_m + \left(\frac{dp_g}{dz} \right)_n \right] \right]}$$

On remarque que pour calculer le diamètre, il faut connaître ϕ_{L0}^2 , et même $\frac{dp_g}{dz}$ dans le cas d'un écoulement vertical, aux points m et n , paramètres qu'on ne peut calculer sans connaître le diamètre. C'est, dire donc que l'on devra faire une série d'essais et erreurs pour arriver à la bonne valeur du diamètre. Ce processus de calcul peut être résumé comme suit.

a) Calculer la longueur équivalente L' des accessoires du système de tuyauterie (multiplier par 2,5 la valeur donnée pour les écoulements de liquide, dans certains livres).

b) Calculer la longueur totale $\Delta z = L + L'$ (L : longueur de la conduite)

c) Calculer la valeur des paramètres $x, \rho_L, \rho_V, \mu_L, \mu_V, h_L$ et h_{L0} correspondant aux pressions P_m et P_n

d) Faire une première estimation du diamètre D .

e) Calculer $(\phi_{L0}^2)_m$ et $(\phi_{L0}^2)_n$ en utilisant la méthode de Phenoweth et Martin précédemment décrite.

f) Calculer $M = \left(\frac{\mu_L^{0,2}}{\rho_L}\right)_m (\phi_{L0}^2)_m$ et $N = \left(\frac{\mu_L^{0,2}}{\rho_L}\right)_n (\phi_{L0}^2)_n$

g) Calculer $(w_{L0}^2)_m, (w_{L0}^2)_n$ et Δw_{L0}^2

h) Calculer K_1 et K_2 , dépendamment de la position de la conduite

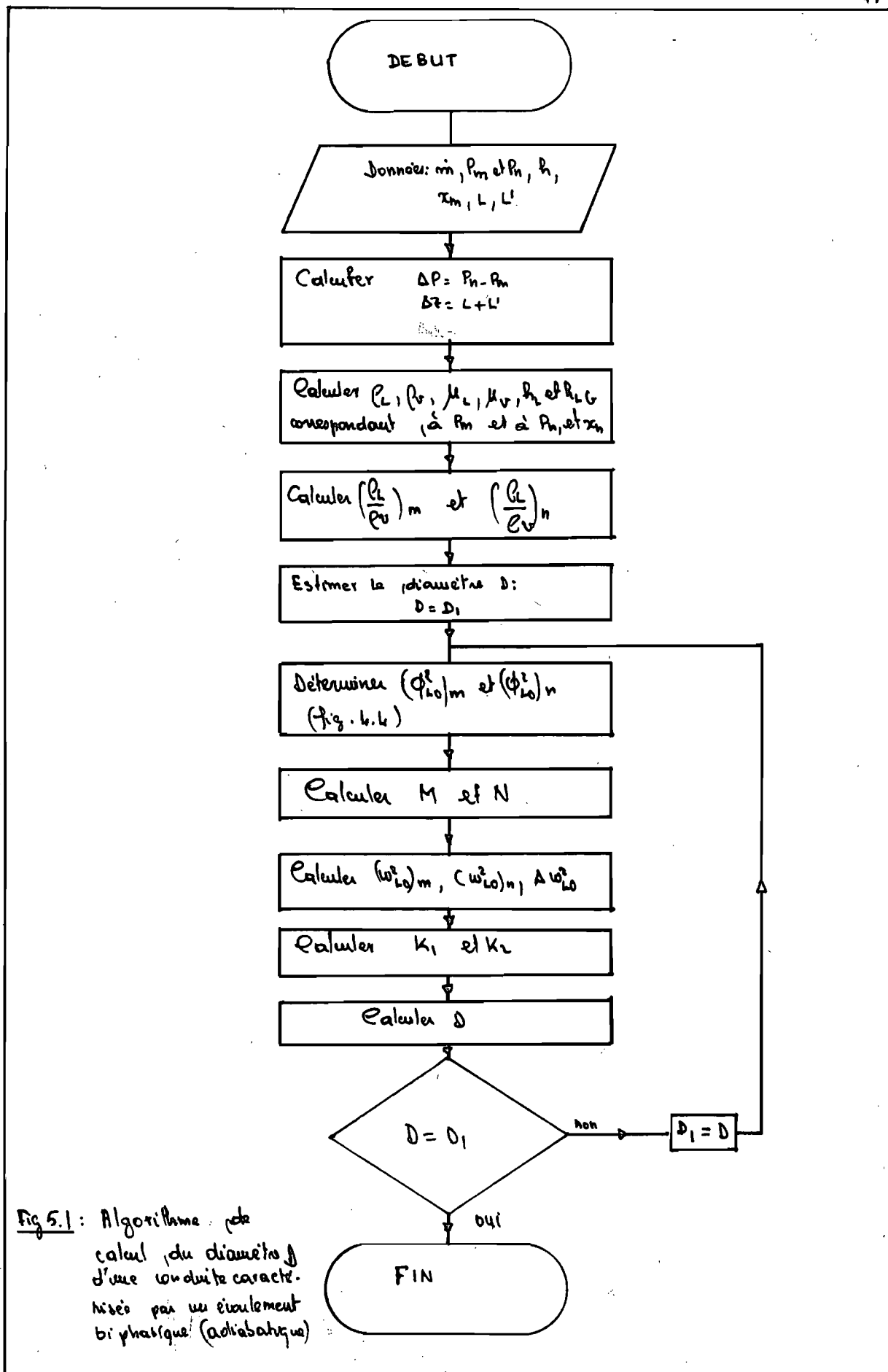
i) Calculer D à partir de l'équation

$$D^{4,8} = K e^{\left[\frac{1}{2} \ln(MN)\right]} - K_2 D^{0,8}$$

h) Si la valeur trouvée est différente celle précédemment estimée, on la prend comme nouveau diamètre estimé et on reprend le calcul jusqu'à avoir des valeurs presque égales.

l' algorithme (fig.5.1) de la page suivante montre les différentes étapes de ce processus de calcul.

Cette méthode peut être utilisée avec des corrélations autres que celle de Phenoweth et Martin, qui, d'ailleurs, ne donne pas toujours les meilleurs résultats. La table E8 de l'an-



xe (donne, selon les valeurs (de $\frac{\rho_L}{\rho_G}$, η_c , et G , les méthodes que l'on peut utiliser, par ordre de préférence décroissant. Il s'agit des corrélations suivantes :

- A THEORIE HOMOGENE (voir annexe C)
- B CORRELATION de LOCKHART et MARTINELLI (voir annexe A)
- C CORRELATION de MARTINELLI et NELSON (10)
- D CORRELATION de THOM (11)
- E CORRELATION de PHENOWETH ET MARTIN
- F EQUATIONS de CHISHOLM (12)
- G Correlation (do Baruegy (13)

Chapitre 6:

CALCUL DES PERTES DE CHARGE
DANS LA LIGNE DE SOUTIRAGE DE
VAPEUR TURBINE- RECHAUFFEUR BASSE
PRESSION 2 DE LA TRANCHE 302 DE
LA CENTRALE THERMIQUE DU CAP
DES BICHES DE LA SENELEC

6.1 Introduction:

Le but de ce travail était de calculer les pertes de charge d'un écoulement biphasique dans une conduite de soutirage et dans une conduite de purge, et de faire ensuite un calcul de vérification par la méthode.

Mais, malheureusement, un calcul préliminaire fait à partir des relevés d'exploitation a montré qu'il y a de la vapeur surchauffée dans les conduites de soutirage, et rien que des condensats dans les lignes de purge. D'ailleurs, les robinets de contrôle, de ces dernières, qui sont généralement le siège de pertes de charge élevées et provoquent une vaporisation rapide du liquide, sont tout juste au devant du condenseur.

Pendant, il peut y avoir une perte de pression allant jusqu'à 3% au niveau des ajutages de la turbine, ce qui donnerait un écoulement biphasique dans la conduite de soutirage de la turbine vers le réchauffeur basse pression I (voir schéma de la figure 302 en annexe 6)

Nous avons considéré ce cas et calculé les pertes de charge de l'écoulement biphasique par la méthode de Phenoweth et Rankin simplifiée et par la méthode approfondie. Par ailleurs, un essai de calcul a montré que pour les conditions d'écoulement considérées, la méthode de Kern n'est pas applicable. Cet essai est présenté en annexe H.

6.2 Présentation de la ligne de soutirage de vapeur de la turbine vers le réchauffeur haute pression 2 (RBP2) de la tranche 302

6.2.1 Schéma isométrique

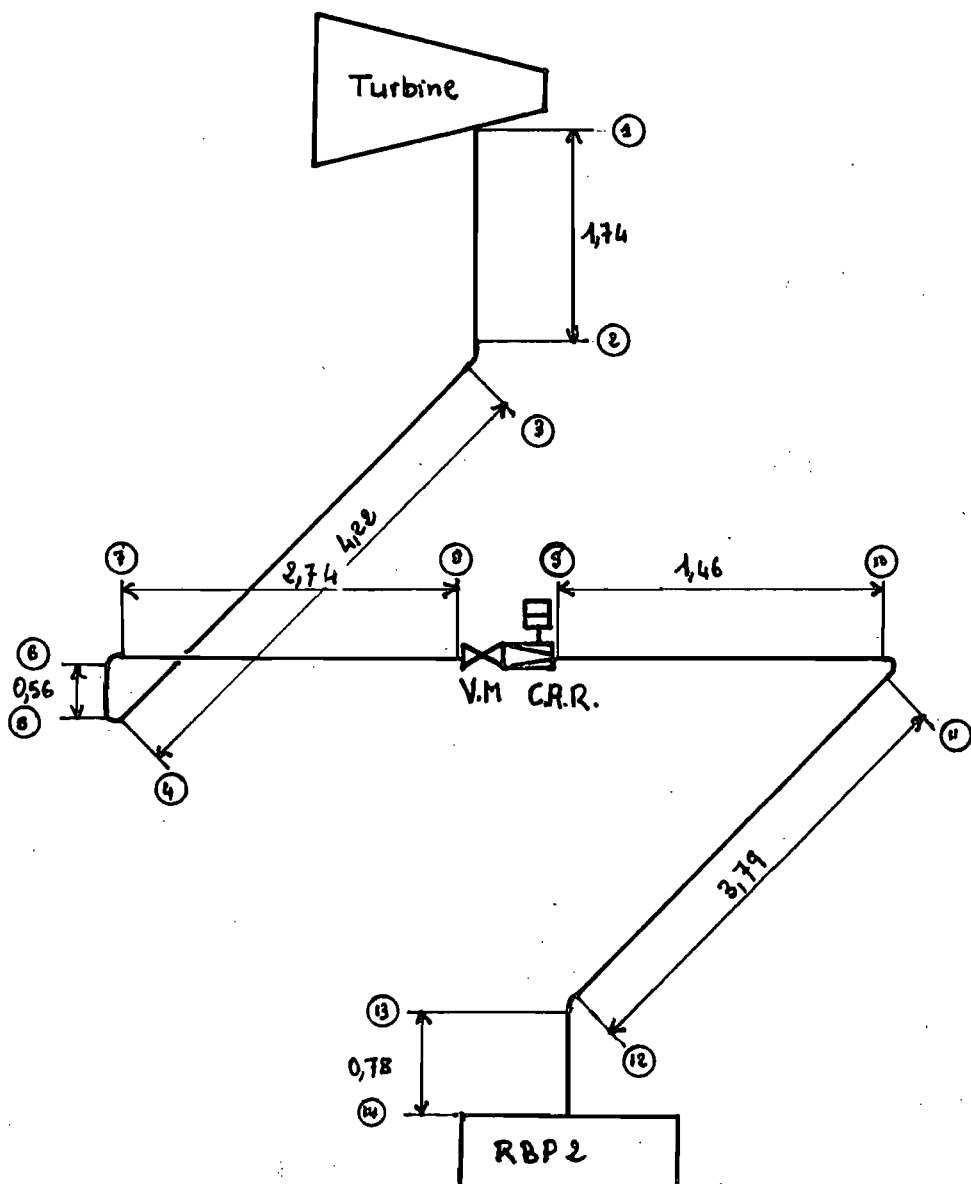


Fig 6.1 Schéma isométrique de circuit de soutirage vapeur
turbine → RBP2 (dimensions en m)

6.2.2. Caractéristiques :

- conduite : $\phi 273,0 \times 6,3$ ($D_i = D = 260,4 \text{ mm}$, tuyau lisse)
longueur totale $L = 10,77 \text{ m}$
- accessoires de tuyauterie: nous les donnons dans le tableau ci-dessous, où K est le coefficient de pertes de charge n'ayant pas de longueur équivalente.

Accessoire	Nombre	$K^{(*)}$	$L_e^{(*)} \text{ (m)}$
Coudes $90^\circ \frac{r}{D} = 10$	5	0,42	8
Robinet-vanne manuel (V.M)	1	0,112	2
Clapet anti-retour (C.A.R.)	1	1,4	20
Total	7	3,612	62

Tableau 6.1 Coefficients de pertes de charge régulières et longueurs équivalentes pour les accessoires de la ligne de raffirage.

- Débit de vapeur $m = 7664 \text{ kg/h} = 2,129 \text{ kg/s}$
- Pression de la vapeur $P = 1,81 \text{ bar}$
- Température de la vapeur $T = 117,06^\circ\text{C}$
- Supposition: pertes de 3% au niveau de l'ajutage, d'où

$$P = 1,76 \text{ bar}$$

$$\bar{T} = T_s = 116,22^\circ\text{C}$$

$$\chi = 0,95$$

$$h_L = 487,70 \frac{\text{kJ}}{\text{kg}} \quad \text{et} \quad h_{L_0} = 2213,13 \frac{\text{kJ}}{\text{kg}}$$

$$m = m_L + m_{L_0} = 2,129 \text{ kg/s}$$

(*) Valeurs tirées de CRANE, "Flow of fluids through valves, fittings, and pipe.", Metric Edition, 1977

6.3 Calcul des pertes de charge de l'échangeur biphasique par la méthode simplifiée de Chenoweth et Martin

1) Données initiales

$$D = 260,4 \text{ mm} = 0,2604 \text{ m}$$

$$\dot{m}_v = 2,128 \text{ kg/s}$$

$$P_i = 1,76 \text{ bar} = 1,76 \cdot 10^5 \text{ Pa} \quad T_i = 116,22^\circ\text{C}$$

$$\chi_1 = 0,95$$

$$L = 10,77 \text{ m} \quad \sum K = 3,612$$

d'où :

$$- \dot{m}_v = 0,95 \times 2,128 \text{ kg/s}$$

$$\dot{m}_v = 2,023 \text{ kg/s}$$

$$- \dot{m}_L = \dot{m}_v - \dot{m}_v$$

$$\dot{m}_L = 0,106 \text{ kg/s}$$

$$- (\text{Tables thermodynamiques}): \rho_v = \frac{1}{\mu_v}$$

$$\rho_v = 1,0011 \text{ kg/m}^3$$

$$\rho_L = \frac{1}{\mu_L}$$

$$\rho_L = 945,93 \text{ kg/m}^3$$

- Viscosités absolues: De la table B 2 (Annexe B)

$$\mu_v = 1,2046 \cdot 10^{-5} (1,76)^{9,2359 \cdot 10^{-2}}$$

$$\mu_v = 1,26917 \cdot 10^{-5} \text{ Pas}$$

$$\mu_L = 2,8420 \cdot 10^{-4} (1,76)^{-2,9837 \cdot 10^{-1}}$$

$$\mu_L = 2,40033 \cdot 10^{-6} \text{ Pas}$$

- Débits volumiques:

$$\dot{V}_v = \dot{m}_v \times \rho_v = \frac{\dot{m}_v}{\rho_v} = \frac{2,023 \text{ kg/s}}{1,0011 \text{ kg/m}^3}$$

$$\dot{V}_v = 2,021 \text{ m}^3/\text{s}$$

$$\dot{V}_L = \dot{m}_L \times \rho_L = \frac{\dot{m}_L}{\rho_L} = \frac{0,106 \text{ kg/s}}{945,93 \text{ kg/m}^3}$$

$$\dot{V}_L = 1,120 \cdot 10^{-6} \text{ m}^3/\text{s}$$

2) Pertes de charge par frottement:

$$a) L.V.F = \frac{\dot{V}_L}{\dot{V}_v} = \frac{1,120 \cdot 10^{-6} \text{ m}^3/\text{s}}{2,021 \text{ m}^3/\text{s}} \quad (\text{équation 1.1}) \quad L.V.F = 5,5 \cdot 10^{-5}$$

b) Nouvelles frottements de Reynolds (équations 1.2)

$$Re_L^* = \frac{4 \cdot \dot{m}}{\pi \cdot D \cdot \mu_L} = \frac{4 \times 2,128 \text{ kg/s}}{\pi \times 0,2604 \times 2,40033 \cdot 10^{-6} \text{ m} \cdot \text{Pas}}$$

$$Re_L^* = 4,84 \cdot 10^4$$

$$Re_v^* = \frac{4 \cdot \dot{m}}{\pi \cdot D \cdot \mu_v} = \frac{4 \times 2,128 \text{ kg/s}}{\pi \times 0,2604 \times 1,26917 \cdot 10^{-5}}$$

$$Re_v^* = 8,90 \cdot 10^5$$

c) Facteurs de friction (voir diagramme de Moody & annexe F)

$$\text{conduite lisse } R_L^* = 4,34 \cdot 10^4 \quad f_L^* = 5,4 \cdot 10^{-3}$$

$$\text{'' '' } R_N^* = 8,20 \cdot 10^5 \quad f_N^* = 3 \cdot 10^{-3}$$

d) Re却e de pression correspondant à la phase liquide (équation 1.3)

$$\Delta P_L^* = \frac{8}{\pi^2} f_L^* L \frac{m_L^2}{\rho_L D^5} = \frac{8}{\pi^2} \times 5,4 \cdot 10^{-3} \times 10,77 \frac{(0,106)^2}{945,93 \times (0,2604)^5} \\ \Delta P_L^* = 6,5 \cdot 10^{-4} \text{ Pa}$$

e) Calcul de ψ_L et ψ_V (équation 1.4)

$$\psi_L = \frac{f_L^* + L}{D} + \sum K = \frac{5,4 \cdot 10^{-3} + 10,77}{0,2604} + 3,612 \quad \psi_L = 3,835$$

$$\psi_V = \frac{f_V^* + L}{D} + \sum K = \frac{3 \cdot 10^{-3} + 10,77}{0,2604} + 3,612 \quad \psi_V = 3,736$$

f) Calcul de $\frac{\rho_L \psi_V}{\rho_V \psi_L}$

$$\frac{\rho_L \psi_V}{\rho_V \psi_L} = \frac{945,93 \times 3,736}{1,0011 \times 3,835} \quad \frac{\rho_L \psi_V}{\rho_V \psi_L} = 920,5$$

g) Détermination de $\frac{\Delta P_{TP}}{\Delta P_L^*}$ (figure 2.1)

L.V.F. = $5,5 \cdot 10^{-5}$ et $\frac{\rho_L \psi_V}{\rho_V \psi_L} = 920,5$ donnent sur le diagramme de la figure 2.1 : $\frac{\Delta P_{TP}}{\Delta P_L^*} = 1150$ $\frac{\Delta P_{TP}}{\Delta P_L^*} = 1150$

h) Calcul de ΔP_{TP}

$$\Delta P_{TP} = 1150 \Delta P_L^* = 1150 \times 6,5 \cdot 10^{-4}$$

$$\boxed{\Delta P_{TP} = 0,7 \text{ Pa}}$$

6.4. Calcul des pertes de charge dans la conduite de soutirage turbine-RBP2 par la méthode approfondie

Ce calcul s'est fait en suivant l'algorithme de la figure 6.7, et en se référant au schéma isométrique (figure 6.1) pour la numérotation des sections.

La méthode de calcul restant la même pour toutes les parties droites de la conduite, nous donnerons seulement un exemple de calcul.

Pour les vannes, les calculs ont montré qu'il y a la même perte de charge. La méthode et un exemple de calcul sont colonnés en annexe C.

Eupuis, la méthode de calcul des pertes de charge dans la vanne manuelle et le clapet anti-retour sera donnée, dans cette section même du chapitre.

6.4.1. Exemple: calcul des pertes de charge dans la section 1-2 de la conduite

a) Données initiales: (au point 1)

$$P_1 = 1,76 \cdot 10^5 \text{ Pa} ; D = 0,2604 \text{ m}$$

$$\dot{m} = 8,120 \text{ kg/s}, \text{ d'où } G = \frac{\dot{m}}{A} = \frac{4 \cdot 8,120}{\pi \cdot 0,2604^2} = 40,100 \text{ kg/s}^2$$

$$\eta = 0,9500$$

$$\rho_L = 945,93 \text{ kg/m}^3 \quad \rho_V = 1,0011 \text{ kg/m}^3$$

$$\mu_L = 2,4003 \cdot 10^{-4} \text{ Pa.s} \quad \mu_V = 1,2692 \cdot 10^{-5} \text{ Pa.s}$$

$$h_L = 487,70 \text{ kJ/kg} \quad h_{v,0} = 2213,13 \text{ kJ/kg.}$$

b) Calcul par la méthode approfondie (figure 6.4).

$$-\frac{C_L}{C_V} = \frac{945,93}{1,0011} = 944,89$$

- Table 4.1 : $\frac{P_L}{P_V} = 944,89$, $x=0,9500$ et $G=40,100 \text{ kg/m}^2\text{s}$ donnent

$$N = 30 \quad \bar{\epsilon} = 0,86 \quad \text{et } s = 0,037$$

$$- 1 - \beta = \frac{1}{1 + \frac{x}{1-x} \frac{P_L}{P_V}} = \frac{1}{1 + \frac{0,95}{1-0,95} \times 944,89} \quad 1 - \beta = 5,57 \cdot 10^{-5}$$

$$Re_{L_0} = \frac{G D}{\mu_L} = \frac{40,100 \times 0,2604}{2,4003 \cdot 10^{-4}} \quad Re_{L_0} = 4,35 \cdot 10^4$$

$$Re_{V_0} = \frac{G D}{\mu_V} = \frac{40,100 \times 0,2604}{1,2692 \cdot 10^{-5}} \quad Re_{V_0} = 8,23 \cdot 10^5$$

- diagramme de Moody (annexe F) : avec $\frac{E}{J} = 0$, on a

$$f_{L_0} = 5,4 \cdot 10^{-3}$$

$$f_{V_0} = 3 \cdot 10^{-3}$$

$$- \left(\frac{dP_f}{dz} \right)_{L_0} = - 2 \beta^2 \frac{f_{L_0}}{D P_L} = - 2 \times (40,1)^2 \frac{5,4 \cdot 10^{-3}}{0,2604 \times 944,89} \quad \left(\frac{dP_f}{dz} \right)_{L_0} = - 0,0705 \text{ Pa/m}$$

$$- \left(\frac{dP_f}{dz} \right)_{V_0} = - 2 \beta^2 \frac{f_{V_0}}{D P_L} = - 2 \times (40,1)^2 \times \frac{3 \cdot 10^{-3}}{1,0011} \quad \left(\frac{dP_f}{dz} \right)_{V_0} = - 37,00 \text{ Pa/m}$$

$$- M^2 = \frac{\left(\frac{dP_f}{dz} \right)_{V_0}}{\left(\frac{dP_f}{dz} \right)_{L_0}} = \frac{-37,00}{-0,0705} \quad M^2 = 525$$

- De la figure 4.2, avec $1 - \beta = 5,57 \cdot 10^{-5}$ et $M^2 = 525$, on obtient

$$\phi_{L_0}^2 = 675$$

$$- \left(\frac{dP_f}{dz} \right)_1 = \phi_{L_0}^2 \left(\frac{dP_f}{dz} \right)_{L_0} = 675 \times (-0,0705 \text{ Pa/m}) \quad \left(\frac{dP_f}{dz} \right)_1 = - 47,59 \text{ Pa/m}$$

- De la figure 4.3, avec $C = 90\%$ et $\varphi = 99\%$, on obtient,

$$\text{pour } N = 30 \text{ et } s = 0,037, \quad \Delta E = 1,28$$

$$- \left(\frac{dP_f}{dz} \right)_{be} = \bar{\epsilon} \left(\frac{dP_f}{dz} \right)_1 = 0,86 \times (-47,59 \text{ Pa/m}) \quad \left(\frac{dP_f}{dz} \right)_{be} = - 40,93 \text{ Pa/m}$$

$$- \frac{dP_f}{dz} = \Delta E \left(\frac{dP_f}{dz} \right)_{be} = 1,28 \times (-40,93 \text{ Pa/m}) \quad \left(\frac{dP_f}{dz} \right)_1 = - 52,38 \text{ Pa/m}$$

c) Calcul de $\frac{dP_f}{dz}$ (figure 4.6)

$$1 - \beta = 5,57 \cdot 10^{-5} \Rightarrow \beta = 0,9999 > 0,9$$

Donc la méthode de calcul ne peut pas être utilisée ici.

D'autre part, une estimation de la perte due à la gravité en utilisant la densité homogène donne une perte négligeable.

d) Calcul de $(w_{L0}^2)_1$: ici, le liquide ne vaporise (de plus en plus tout le long de la conduite). Comme $\alpha_1 = 0,9500$, et on aura $x_2 > x_1$, c'est la méthode Q (équation 4.6) qui doit être utilisée ici.

D'autre part, il a montré que c'est cette équation qu'on l'on devra utiliser partout.

$$\begin{aligned}(w_{L0}^2)_1 &= x_1^2 \cdot \frac{P_L}{P_V} + 2x_1(1-x_1) \sqrt{\frac{P_L}{P_V}} + (1-x_1)^2 \\ &= 0,95^2 \times \frac{944,72}{1,0006} + 2 \times 0,95(1-0,95) \sqrt{\frac{944,72}{1,0006}} + (1-0,95)^2 \\ (w_{L0}^2)_1 &= 855,69\end{aligned}$$

e) Nous choisissons $Az_1 = \overline{z_1 - z_2} = 1,74 \text{ m}$

f) Alors $\Delta P_1 = Az_1 \left[\left(\frac{\partial P_f}{\partial z} \right)_1 + \left(\frac{\partial P_g}{\partial z} \right)_1 \right] = 1,74 \left[-52,38 \text{ Pa/m} + 0 \right] \Delta P_1 = -91 \text{ Pa.}$

g) $P_2 = P_1 + \Delta P_1 = 1,76 \cdot 10^5 - 91 \quad P_2 = 1,75909 \cdot 10^5 \text{ Pa.}$

h) En utilisant les tables (de l'annexe B, on a, pour $P_2 = 1,75909 \cdot 10^5 \text{ Pa}$,

$\rho_{\text{air}} = 1,0006 \text{ kg/m}^3$	$M_{\text{air}} = 1,2691 \cdot 10^{-5} \text{ Pa.s}$	$h_L = 486,16 \text{ kJ/kg}$
$\rho_L = 944,72 \text{ kg/m}^3$	$M_L = 2,4007 \cdot 10^{-6} \text{ Pa.s}$	$h_{LG} = 2208,98 \text{ kJ/kg}$

i) Calcul de x_2

$$x_2 = \frac{x_1 h_{L01} + h_{L1} - h_{L2}}{h_{LG2}} = \frac{0,95 \times 2213,13 + 486,16 - 486,16}{2208,98} \quad x_2 = 0,9525$$

j) Calcul de $(\frac{\partial P_f}{\partial z})_2$ (figure 4.4)

$$-\frac{P_L}{P_V} = \frac{944,72}{1,0006} = 944,15$$

- Table 4.1 $\frac{P_L}{P_V} = 944,15$, $\alpha = 0,9525$ et $G = 40,100 \text{ kg/m}^2 \text{s}$ donnent

$$N = 30 \quad \bar{E} = 0,86 \quad \text{et } S = 0,037$$

- $\lambda - \beta = 5,28 \cdot 10^{-5}$
- $R_{e_{L0}} = 4,35 \cdot 10^4$
- $R_{e_{v0}} = 8,23 \cdot 10^5$
- $f_{L0} = 5,4 \cdot 10^{-3}$ et $f_{v0} = 3 \cdot 10^{-3}$
- $(\frac{dp_f}{dt})_{L0} = -0,0706 \text{ Pa/m}$, $(\frac{dp_f}{dt})_{v0} = -37,03 \text{ Pa/m}$ et $M^2 = 524,5$
- $\phi_{L0}^2 = 650$
- $(\frac{dp_f}{dt})_1 = -45,89 \text{ Pa/m}$
- $(\frac{dp_f}{dt})_{be} = -39,47 \text{ Pa/m}$
- $\Delta E = 1,28$ et $(\frac{dp_f}{dt})_2 = -50,52 \text{ Pa/m}$

k) $(\frac{dp_g}{dt})_2 = 0$

l) $w_{L0_2}^2 = 859,37$

m) Calcul de $(\Delta P_a)_1$ (équation 4.3)

$$\begin{aligned} \Delta P_{a_1} &= -G^2 \left[\left(\frac{w_{v0}}{P_L} \right)_2 - \left(\frac{w_{v0}}{P_L} \right)_1 \right] \\ &= -40,1^2 \left[\left(\frac{859,37}{944,72} \right) - \left(\frac{855,69}{945,93} \right) \right] \end{aligned} \quad \Delta P_{a_1} = -8,13 \text{ Pa.}$$

n) Calcul de Δz_{a_1} (équation 4.28)

$$\Delta z_{a_1} = \frac{\Delta P_1 - \Delta P_{a_1}}{\frac{1}{2} \left[\left(\frac{dp_g}{dt} \right)_2 + \left(\frac{dp_g}{dt} \right)_2 + \left(\frac{dp_g}{dt} \right)_1 + \left(\frac{dp_g}{dt} \right)_1 \right]}$$

$$\Delta z_{a_1} = \frac{-91 - (-8,13)}{\frac{1}{2} [-52,38 + 0 - 50,92 + 0]} \quad \Delta z_{a_1} = 1,62 \text{ m}$$

Comme on avait estimé $\Delta z_1 = 1,76 \text{ m}$, nous jugeons utile de reprendre le processus car la précision obtenue suffit.

Néanmoins, il s'agit de reprendre la valeur avec la valeur de P_2 .

$$\underline{P_2 = 1,75909 \cdot 10^5 \text{ Pa.}}$$

6.4.2 Faute de pertes de charge dans la vanne manuelle et dans le clapet anti-retour (section 8-9)

Sei, pour manque d'autre méthode, nous avons supposé un écoulement homogène, pour pouvoir calculer aussi la densité homogène (voix au-dessus de C) et considérer l'écoulement comme monophasique.

Au point 8, (voir page), on a : $P_g = 1,74689 \text{ bar}$

$$x = 0,9526 ; \rho_v = 0,9952 \text{ kg/m}^3 \quad \rho_h = 944,89 \text{ kg/m}^3$$

La densité homogène ρ_h est donnée par l'équation c1 (annexe C) :

$$\frac{1}{\rho_h} = \frac{x}{\rho_v} + \frac{1-x}{\rho_L} = \frac{0,9526}{0,9952} + \frac{1-0,9526}{944,89} \quad \rho_h = 1,0447 \text{ kg/m}^3$$

La perte de charge sera alors

$$\Delta P = -K \rho_h \frac{v^2}{2} = -K \frac{G^2}{2 \rho_h}$$

où K est la somme des coefficients de pertes régulières dans la vanne et dans le clapet. Ces coefficients sont donnés dans le tableau (de la page 51).

$$K = 0,112 + 1,4 = 1,512$$

$$\Delta P_{g,1} = -1,512 \times \frac{(40,1)^2}{2 \times 1,0447}$$

$$\Delta P_g = -1164 \text{ Pa}$$

d'où

$$P_g = 1,73525 \cdot 10^5 \text{ Pa}$$

6.4.3 Pertes totales de charge

Les résultats obtenus sont regroupés dans le tableau de la page suivante.

La perte totale de charge est $P_1 - P_{14} = -3325 \text{ Pa}$.

$$\boxed{\Delta P_{Tp} = -3325 \text{ Pa}}$$

$$\text{soit } \frac{|\Delta P|}{P_1} = \frac{3325}{176000} \times 100$$

$$\boxed{\Delta P_{Tp} = 1,89 \%}$$

Section	Pression [Pa]	ρ_L [kg/m ³]	ρ_V [kg/m ³]	M_L [Pa.s]	M_V [Pa.s]	h_L [kg/kg]	$h_{L,V}$ [kg/kg]	$z \times 100$	w_{L0}^2	ΔP [Pa]	Obser.
1	176000	945,93	1,0011	$2,4003 \cdot 10^{-4}$	$1,2692 \cdot 10^{-5}$	487,70	2218,13	95,00	855,69	/ / / /	
2	175909	944,72	1,0006	$2,4003 \cdot 10^{-4}$	$1,2691 \cdot 10^{-5}$	486,16	2208,98	95,25	859,37	-91	
3	175620	944,76	1,0002	$2,4020 \cdot 10^{-4}$	$1,2689 \cdot 10^{-5}$	485,93	2209,13	95,25	859,75	-289 (coude 90° arrondi)	
4	175407	944,79	0,9990	$2,4022 \cdot 10^{-4}$	$1,2688 \cdot 10^{-5}$	485,79	2209,22	95,25	860,81	-213	
5	175118									-289	coude 90°
6	175118									0	coude longueur
7	174829	944,87	0,9960	$2,4051 \cdot 10^{-4}$	$1,2684 \cdot 10^{-5}$	485,36	2209,51	95,26	863,65	-289	coude 90°
8	174689	944,89	0,9952	$2,4057 \cdot 10^{-4}$	$1,2683 \cdot 10^{-5}$	485,25	2209,57	95,26	864,36	-140	
9	173525	945,05	0,9890	$2,4105 \cdot 10^{-4}$	$1,2675 \cdot 10^{-5}$	484,38	2210,15	95,26	869,92	1164	Vanne et clapet
10	173450	945,06	0,9886	$2,4108 \cdot 10^{-4}$	$1,2675 \cdot 10^{-5}$	484,32	2210,18	95,26	870,28	-75	
11	173161	945,10	0,9871	$2,4120 \cdot 10^{-4}$	$1,2673 \cdot 10^{-5}$	484,10	2210,32	95,26	871,63	-289	coude 90°
12	172964	945,13	0,9860	$2,4128 \cdot 10^{-4}$	$1,2671 \cdot 10^{-5}$	483,96	2210,42	95,26	872,63	-197	
13	172675									-289	coude 90°
14	172675									0	longueur négligable

Tableau 6.2 : Résultats des calculs de pertes de charge avec la méthode approfondie.

6.5 Calcul de vérification du diamètre de la conduite de soutirage de la turbine vers le réchauffeur brane pression n° 2 en supposant une perte de charge admissible de 3%

Nous allons faire dans cette section du chapitre une application de la théorie exposée dans le chapitre 5.

Pour cela, nous allons supposer que les conditions d'écoulement sont les mêmes à la section 1 (voir figure 6.1), mais que la perte de charge admissible sur la ligne de soutirage est de 3% (la longueur de la conduite étant égale à 10,77m, cette perte est largement suffisante).

La figure 5.1 sera suivie pour le calcul, et les résultats déjà obtenus à la section 6.4 de ce même chapitre seront utilisés.

Donc on a :

$$1^{\circ}) \quad m = 2,128 \text{ kg/s} ; \quad m = 1 ; \quad P_0 = P_1 = 1,76 \cdot 10^5 \text{ Pa} ; \quad h_1 = 2590,17 \text{ kJ/kg}$$

$$\pi_1 = 0,95 ; \quad L = 10,77 \text{ m} ; \quad L' = 2,5 (62) = 155 \text{ m} \quad (\text{voir tableau 6.1})$$

$$2^{\circ}) \quad \frac{\Delta P}{P_1} = 3\% \Rightarrow \Delta P = 3\% \times P_1 = 0,03 \times 1,76 \cdot 10^5 = 5280 \text{ Pa.}$$

$$P_n = P_{14} = 1,76 \cdot 10^5 - 5280 \Rightarrow P_{14} = 170720 \text{ Pa.} \\ \Delta z = 165,77 \text{ m.}$$

3^o) - De la section 6.4, on a :

$$\rho_{L1} = 945,93 \text{ kg/m}^3 \quad \mu_{L1} = 2,4003 \cdot 10^{-6} \text{ Pa.s} \quad h_{L1} = 487,70 \text{ kJ/kg}$$

$$\rho_{v1} = 1,0011 \quad " \quad " \quad \mu_{v1} = 1,2692 \cdot 10^{-5} \text{ Pa.s} \quad h_{Lv1} = 2213,13 \quad "$$

- En utilisant les tables de l'annexe B, avec $P_{14} = 170720 \text{ Pa.}$

$$\text{on a: } \rho_{L14} = 945,45 \text{ kg/m}^3 ; \quad \mu_{L14} = 2,4223 \cdot 10^{-6} \text{ Pa.s} \quad h_{L14} = 482,25 \text{ kJ/kg}$$

$$\rho_{v14} = 0,9740 \quad " \quad ; \quad \mu_{v14} = 1,2656 \cdot 10^{-5} \text{ Pa.s} \quad h_{Lv14} = 2211,56 \quad "$$

$$4^{\circ}) \frac{P_{L_1}}{P_{v_1}} = 944,89 \quad \text{et} \quad \frac{P_{L_{14}}}{P_{v_{14}}} = 970,69$$

$$\chi_{14} = \frac{0,95 \times 2213,13 + 487,70 - 482,22}{2211,94} \quad \chi_{14} = 0,9531$$

5°) Nous prenons $D = 0,2604 \text{ m}$ car nous voulons vérifier si ce diamètre convient.

6°) Dans la section 6.4 on a calculé $\phi_{L0_1}^2$ pour $P_1 = 1,76 \cdot 10^5 \text{ Pa}$

$$\phi_{L0_1}^2 = 675$$

- En procédant de la même manière que dans la section 6.4, pour déterminer $\phi_{L0_{14}}^2$, on trouve

$$1 - \beta_{14} = 5,07 \cdot 10^{-5}; R_{eL0_{14}} = 4,31 \cdot 10^4; R_{ev0_{14}} = 8,25 \cdot 10^5$$

$f_{L0_{14}} = 5,4 \cdot 10^{-3}; f_{v0_{14}} = 3 \cdot 10^{-3}$ et $M^2 = 539,57$, valeurs qui donnent $\phi_{L0_{14}}^2 = 680$

$$7^{\circ}) \text{ Alors: } -n = \frac{(2,4003 \cdot 10^{-4})^{0,2}}{945,93} \times 675 \text{ (équation 5.2)} M = 0,1347$$

$$-N = \frac{(2,4223 \cdot 10^{-4})^{0,2}}{945,45} \times 680 \text{ (équation 5.3)} N = 0,1361$$

8°) De la section 6.4, on tire $w_{L0_1}^2 = 855,69$

$$-w_{L0_{14}}^2 = (0,9531^2 \times 970,69) + 2 \times 0,9531 (1 - 0,9531) \sqrt{970,69} + (1 - 0,9531)^2$$

$$w_{L0_{14}}^2 = 884,56$$

$$\text{et } \Delta w_{L0}^2 = 28,87$$

$$9^{\circ}) K_1 = \frac{-0,185 \times 165,77 (2,129)^{1,8}}{-5280} \text{ (équation 5.4)} K_1 = 0,02263$$

$$K_2 = \frac{3,24 (2,129)^2 \times 28,87}{[945,93 + 945,45] \times (-0,0528 \cdot 10^5)} \text{ (équation 5.5)} K_2 = -4,25 \cdot 10^{-5}$$

$$10^{\circ}) g^{4,8} = 0,02263 e^{[0,5 \ln(0,1347 + 0,1361)]} + 4,25 \cdot 10^{-5} D^{0,8}$$

$$D^{4,8} = 3,064 \cdot 10^{-3} + 4,25 \cdot 10^{-5} D^{0,8}$$

Un processus d'estai-et-enroulement donne $D = 0,260 \text{ m}$.

Cependant, avec ce diamètre, la méthode apposée nous a donné une perte de charge de 1,89%, au lieu de 3%. Ceci est expliqué par le fait que beaucoup d'interactions ont été faites et la précision des valeurs a diminué.

Malgré tout ce travail de vérification, ce diamètre convient bien, car il ne donne pas une perte de charge supérieure à 3%.

Chapitre 7.

DISCUSSIONS ET RECOMMANDA-
TIONS

Il faut souligner néanmoins que les calculs de perte de charge précédents ne sont que des exemples pour montrer comment on utilise les méthodes exposées.

En effet, je l'ai mentionné dans le chapitre 6, les conduites de soufflage et de purge ne vont en respectivement que de la vapeur surchauffée et du condensat. Il faut donc qu'elles soient assez courtes et les débits faibles, les pertes de charge n'y sont pas assez importantes pour provoquer une vaporisation ou une condensation et nous permettent ainsi de faire un calcul basé sur les conditions réelles.

L'étude des conditions d'exploitation de la turbine n'est pas l'objet de ce projet, nous avons supposé une perte de charge de 3%, à la sortie de la turbine - perte qui pouvait arriver du reste au cas de changement important du régime de fonctionnement - pour donner nos exemples de calcul.

Quant aux méthodes utilisées, il faut dire que celles de Phenowelli et Martin et de Kern ne sont que des estimations grossières. Ensuite, à cause du litige un peu élevé, au début, donc du débit massique assez faible du liquide, la première méthode donne une perte de charge très négligeable et la deuxième ne peut pas être utilisée.

C'est pourquoi la compagnie américaine, de géno-conseil Bechtel utilise le débit massique total, au lieu de celui de la phase liquide, pour calculer la perte de charge fictive de la phase li-

quido dans la méthode de Phenowelli et Martin. Peu donnerait dans notre cas une perte de charge de 1,20%, résultant beaucoup plus probable, et plus proche de celui trouvé avec la méthode approfondie (1,89%). Cette dernière est la plus longue, mais aussi celle qui donne, d'après nos calculs, le résultat le plus proche de la réalité.

Cependant, dans le domaine des écoulements en général, une comparaison de méthodes ne peut être faite qu'après calculs théoriques et mesures, mesures que nous ne pouvons pas effectuer ici.

D'ailleurs, il faut souligner ici la nécessité de multiplier les prises de pression et de température (surtout aux entrée et sortie des installations), car les conditions d'écoulement ont une influence directe sur le bilan thermique global, et sont donc très importantes à connaître.

La méthode approfondie pourrait être utilisée plus rapidement en la mettant sous forme de programme sur ordinateur, mais malheureusement le manque de temps ne nous a pas permis de le faire.

Enfin, nous devons que ce travail nous a permis de réaliser que l'on ne doit pas se fier, d'une manière absolue, aux formules de calcul établies dans la littérature scientifique, de spécialité (revues), car ces formules ne donnent pas toujours des résultats reproduisibles par expérience et ont donc des limites quant à leur application.

Si nous n'avons parlé que des conduites de soutirage et de purge dans ce projet, cela ne veut guère dire que c'est là seulement où l'on rencontre les écoulements biphasiques dans les centrales thermiques.

En effet, toute vapeur produite dans une industrie résulte d'un processus d'ébullition, échange de chaleur et condensation, donc de changements de phases.

C'est donc que l'écoulement biphasique se rencontre partout dans ce type d'industrie, et il est important que les ingénieurs à l'exploitation puissent analyser les systèmes qu'il caractérise.

C'est cette raison que nous avons essayé, d'abord, en demandant des méthodes de calcul, des pertes, de charge et une méthode de vérification du diamètre d'une conduite caractérisée par son écoulement biphasique.

Les deux premières méthodes, celles de Chenoweth et Trahan et de Kern, très simples, ne sont, au mieux non adéquates dans le cas des branchés de petite puissance (30 MW).

La troisième et dernière, la méthode approfondie, semble être la plus convenable.

Pour terminer, nous disons tout simplement que nous espérons que ce présent travail constitue un outil de base qui permettra, aux ingénieurs à l'exploitation de la Senelec en général, de se familiariser avec les théories concernant l'écoulement biphasique.

ANNEXES

Annexe A

CORRELATION DE LOCKHART ET MARTINELLI

Lockhart et Martinelli ont été les premiers, dans le domaine de l'écoulement biphasique, à introduire une corrélation qui permet de calculer les pertes de charge (dans une conduite horizontale).

Cette corrélation consiste en effet à relier la perte totale déchargée de l'écoulement ΔP_{TP} et la perte de charge d'une seule phase (liquide ou vapeur), par un facteur ϕ , sous la forme

$$\phi^2 = \frac{\Delta P_{TP}}{\Delta P_{louv}} \quad (A_1)$$

où ΔP_{louv} se calcule de la même manière que dans les chapitres 2 et 3.

Pour cela, ils ont introduit un paramètre X , dit module de Lockhart et Martinelli, exprimé comme suit:

$$X^2 = \frac{\Delta P_L}{\Delta P_v} \quad (A_2)$$

Ils ont fait ensuite des séries d'expériences pour tracer des courbes donnant ϕ en fonction de X , dépendamment du régime d'écoulement (de chaque phase, et de l'expression de ϕ^2 choisi ($\phi^2 = \frac{\Delta P_{TP}}{\Delta P_L}$ ou $\phi^2 = \frac{\Delta P_{TP}}{\Delta P_v}$)).

ϕ est noté ϕ_L si la corrélation se fait avec ΔP_L , et ϕ_g si la corrélation se fait avec ΔP_v .

Je donne, dans le tableau ci-dessous les régimes d'écoulement considérés et les notations de ϕ_L ou ϕ_g correspondantes.

Régime d'écoulement		Nombres de Reynolds		Notation de ϕ correspondante dans la figure	
Phase liquide	phase vapeur	Re _v	Re _L	ϕ_L	ϕ_g
turbulent	turbulent	> 2000	> 2000	ϕ_{LTt}	ϕ_{gtt}
lamininaire	turbulent	> 2000	< 1000	ϕ_{Ltt}	ϕ_{gtt}
turbulent	lamininaire	< 1000	> 2000	ϕ_{Ltt}	ϕ_{gtt}
lamininaire	lamininaire	< 1000	< 1000	ϕ_{Ltt}	ϕ_{gll}

La figure de la page suivante (donne ϕ en fonction de X , re), permet de calculer ϕ^2 et

$$\Delta P_{TP} = \phi^2 \Delta P_{Louv}.$$

Le plus grand désavantage de l'application de la corrélation de Lockhart et Martinelli, dans les calculs pratiques, d'ingénierie, est, comme on le voit dans le tableau ci-dessus, qu'il faut connaître le type particulier d'écoulement. C'est pourquoi cette méthode n'est presque plus utilisée.

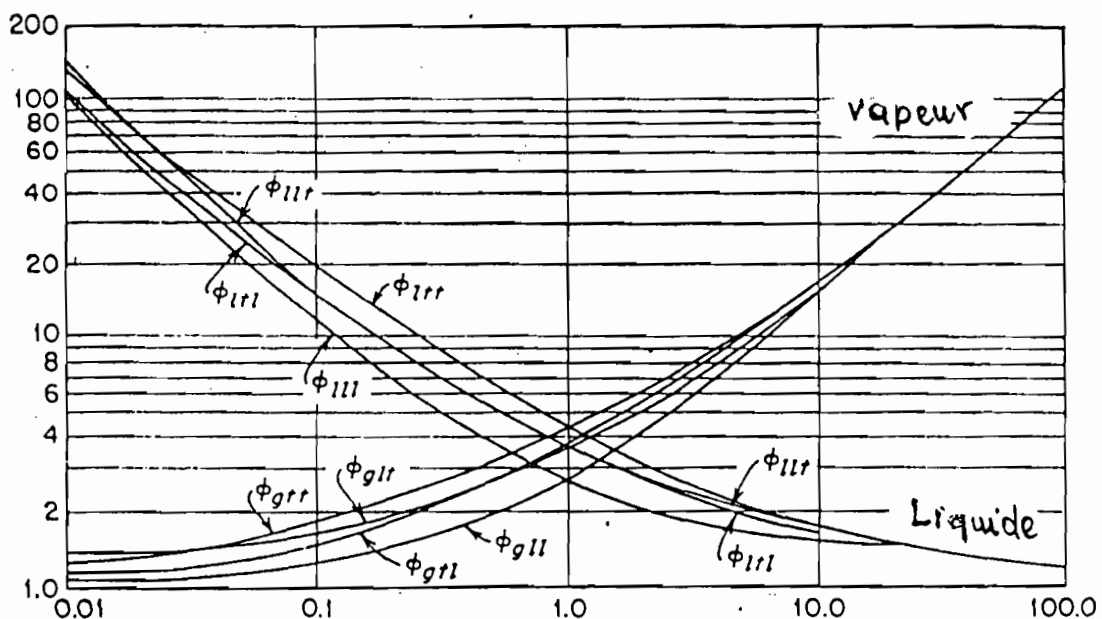


fig:A1 Correlation de Lockhart et Martinelli

69

Intervalle de pression $p \times 10^{-5}$ Pa	ρ_G (kg/m ³)		ρ_L (kg/m ³)	
	a_1	a_2	a_1	a_2
1.0 3.0	5.9042E-001	9.3596E-001	9.5859E+002	-2.5807E-002
2.0 5.0	5.8918E-001	9.3850E-001	9.6446E+002	-3.2544E-002
3.0 8.0	5.8618E-001	9.4252E-001	9.7244E+002	-3.8865E-002
5.0 13.0	5.7821E-001	9.5018E-001	9.8864E+002	-4.7928E-002
8.0 20.0	5.6337E-001	9.6161E-001	1.0136E+003	-5.8785E-002
13.0 35.0	5.3027E-001	9.8392E-001	1.0653E+003	-7.7050E-002
20.0 50.0	4.8634E-001	1.0107E+000	1.1357E+003	-9.6775E-002
35.0 60.0	4.2317E-001	1.0474E+000	1.2505E+003	-1.2213E-001
50.0 80.0	3.4314E-001	1.0998E+000	1.4344E+003	-1.5645E-001
60.0 90.0	2.9638E-001	1.1344E+000	1.5744E+003	-1.7839E-001
80.0 100.0	2.2742E-001	1.1937E+000	1.8613E+003	-2.1590E-001
90.0 120.0	1.6969E-001	1.2583E+000	2.2526E+003	-2.5799E-001
100.0 135.0	1.2459E-001	1.3244E+000	2.7575E+003	-3.0126E-001
120.0 150.0	7.2414E-002	1.4362E+000	3.8515E+003	-3.7003E-001
135.0 165.0	3.7627E-002	1.5685E+000	5.6627E+003	-4.4795E-001
150.0 180.0	1.4190E-002	1.7615E+000	1.0246E+004	-5.6530E-001
165.0 190.0	4.3931E-003	1.9891E+000	2.1906E+004	-7.1291E-001
180.0 200.0	6.2683E-004	2.3622E+000	9.0600E+004	-9.8501E-001
190.0 210.0	3.2206E-005	2.9259E+000	8.2063E+005	-1.4035E+000

Annexe B

Propriétés de la vapeur et du liquide saturé

Table B.1

La propriété physique y recherchée est donnée par l'équation
 $y = a_1(p \times 10^{-5})^{a_2}$

où a_1 et a_2 sont les valeurs correspondant à l'intervalle dans lequel $p \cdot 10^{-5}$ [Pa] est compris

Intervalle de pression $p \times 10^{-5}$ Pa		μ_G (N s/m ²)		μ_L (N s/m ²)		σ (N/m)	
		a_1	a_2	a_1	a_2	a_1	a_2
4.0	3.0	1.2046E-005	9.2359E-002	2.8420E-004	-2.9877E-001	5.8847E-002	-1.1111E-001
2.0	5.0	1.2020E-005	9.5065E-002	2.8093E-004	-2.8544E-001	6.0299E-002	-1.3793E-001
10.0	8.0	1.1973E-005	9.7844E-002	2.7545E-004	-2.7032E-001	6.2369E-002	-1.6402E-001
5.0	13.0	1.1905E-005	1.0102E-001	2.6593E-004	-2.5136E-001	6.7254E-002	-2.0576E-001
10.0	20.0	1.1803E-005	1.0476E-001	2.5614E-004	-2.3535E-001	7.6060E-002	-2.5946E-001
13.0	35.0	1.1578E-005	1.1189E-001	2.4788E-004	-2.2395E-001	9.8479E-002	-3.5444E-001
20.0	50.0	1.1214E-005	1.2183E-001	2.4564E-004	-2.2138E-001	1.4050E-001	-4.6430E-001
35.0	60.0	1.0611E-005	1.3643E-001	2.4827E-004	-2.2438E-001	2.4639E-001	-6.1238E-001
50.0	80.0	9.6693E-006	1.5972E-001	2.6229E-004	-2.3815E-001	5.7655E-001	-8.2521E-001
60.0	90.0	9.0364E-006	1.7566E-001	2.7585E-004	-2.5011E-001	1.0393E+000	-9.6395E-001
80.0	100.0	8.0669E-006	2.0107E-001	3.1166E-004	-2.7750E-001	2.9204E+000	-1.1955E+000
90.0	120.0	6.9943E-006	2.3258E-001	3.8034E-004	-3.2150E-001	1.1551E+001	-1.4991E+000
100.0	135.0	5.9015E-006	2.6894E-001	4.5756E-004	-3.6089E-001	4.8955E+001	-1.8076E+000
120.0	150.0	4.0822E-006	3.4506E-001	6.5093E-004	-4.3374E-001	6.5580E+002	-2.3428E+000
135.0	165.0	2.5216E-006	4.4228E-001	1.2729E-003	-5.6946E-001	1.3287E+004	-2.9500E+000
150.0	180.0	1.0548E-006	6.1515E-001	3.7441E-003	-7.8290E-001	5.8040E+006	-4.1566E+000
165.0	190.0	4.0209E-007	8.0186E-001	1.0566E-002	-9.8394E-001	6.7694E+010	-5.9747E+000
180.0	200.0	1.0882E-007	1.0525E+000	5.5992E-002	-1.3038E+000	2.2290E+019	-9.7366E+000
190.0	210.0	4.5908E-008	1.2154E+000	1.6911E-001	-1.5124E+000	1.0456E+025	-1.2201E+001

Annexe B

Table B2

Intervalle de pression $p \times 10^{-5} \text{ Pa}$		$\bar{h}_L \text{ (kJ/kg)}$		$\bar{h}_{LG} \text{ (kJ/kg)}$	
		a_1	a_2	a_1	a_2
1.0	3.0	4.1751E+002	2.6954E-001	2.2577E+003	-3.8625E-002
2.0	5.0	4.2165E+002	2.5937E-001	2.2752E+003	-4.7252E-002
3.0	8.0	4.2426E+002	2.5495E-001	2.3013E+003	-5.6025E-002
5.0	13.0	4.2639E+002	2.5243E-001	2.3592E+003	-6.9776E-002
8.0	20.0	4.2639E+002	2.5254E-001	2.4569E+003	-8.7497E-002
13.0	35.0	4.2251E+002	2.5599E-001	2.6778E+003	-1.1917E-001
20.0	50.0	4.1523E+002	2.6140E-001	3.0112E+003	-1.5541E-001
35.0	60.0	4.0319E+002	2.6916E-001	3.6185E+003	-2.0384E-001
50.0	80.0	3.0580E+002	2.8019E-001	4.7914E+003	-2.7414E-001
60.0	90.0	3.7474E+002	2.8703E-001	5.8427E+003	-3.2086E-001
80.0	100.0	3.5611E+002	2.9847E-001	8.4584E+003	-4.0303E-001
90.0	120.0	3.3612E+002	3.1120E-001	1.3211E+004	-5.0218E-001
100.0	135.0	3.1707E+002	3.2367E-001	2.1158E+004	-6.0293E-001
120.0	150.0	2.8718E+002	3.4407E-001	5.1854E+004	-7.8779E-001
135.0	165.0	2.5697E+002	3.6652E-001	1.6350E+005	-1.0198E+000
150.0	180.0	2.1774E+002	3.9931E-001	1.0012E+006	-1.3786E+000
165.0	190.0	1.7705E+002	4.3948E-001	1.1789E+007	-1.8576E+000
180.0	200.0	1.2523E+002	5.0583E-001	1.1248E+009	-2.7313E+000
190.0	210.0	7.2036E+001	6.1087E-001	4.9137E+012	-4.3239E+000

Annexe C

METHODE DE LA THEORIE HOMOGENE

Cette méthode de calcul des pertes de charge, dans un écoulement biphasique résulte, de l'hypothèse que les deux phases constituent un mélange homogène. Ainsi, on peut supposer qu'il y a une interaction complète entre les phases, et que l'écoulement se comporte comme un écoulement monophasique d'un fluide ayant des propriétés physiques moyennes de celles des deux phases.

Alors, la densité homogène ρ_H sera telle que

$$\frac{1}{\rho_H} = \frac{x}{\rho_V} + \frac{1-x}{\rho_L} \quad (c1)$$

et la viscosité dynamique homogène μ_H telle que:

$$\frac{1}{\mu_H} = \frac{x}{\mu_V} + \frac{1-x}{\mu_L} \quad (c2)$$

La perte linéaire de charge par friction est alors

$$\frac{dp_f}{dz} = -2 f_H \frac{G^2}{D\rho_H} \quad [Pa/m] \quad (c3)$$

(où f_H est le facteur de friction correspondant au nombre de Reynolds homogène).

$$Re_H = \frac{GD}{\mu_H} \quad (c4)$$

La perte totale de charge par friction, pour une longueur Δz , conduite A2, est

$$\Delta P_{f,T_p} = - \left(\frac{dP_f}{dz} \right) \times \Delta z \quad [Pa] \quad (c5)$$

On voit que cette méthode est très simple, et, dans les cas où on ne dispose aujourd'hui d'aucune autre méthode valable, c'est elle qui est souvent utilisée. C'est le cas par exemple des robinets.

Calcul des pertes de charge dans la section 2-3 : coude 90°

$$P_2 = 1,75905 \cdot 10^5 \text{ Pa.}$$

$$\rho_{L_2} = 944,72 \text{ kg/m}^3 \quad \mu_{L_2} = 2,4807 \cdot 10^{-4} \text{ Pa.s} \quad x_2 = 0,9525$$

$$\rho_{v_2} = 1,0006 \quad \mu_{v_2} = 1,2691 \cdot 10^{-5}$$

- Calcul de la densité homogène ρ_H (équation C1)

$$\frac{1}{\rho_H} = \frac{x_2}{\rho_{v_2}} + \frac{1-x_2}{\rho_{L_2}} = \frac{0,9525}{1,0006} + \frac{1-0,9525}{944,72} \quad \rho_H = 1,0504 \text{ kg/m}^3$$

- Calcul de la viscosité dynamique homogène μ_H (équation C2)

$$\frac{1}{\mu_H} = \frac{x}{\mu_{v_2}} + \frac{1-x}{\mu_{L_2}} = \frac{0,9525}{1,2691 \cdot 10^{-5}} + \frac{1-0,9525}{2,4807 \cdot 10^{-4}} \quad \mu_H = 1,3289 \cdot 10^{-5} \text{ Pas}$$

$$- Re_H = \frac{G D}{\mu_H} = \frac{40,1 \times 0,2604 (\text{kg/m.s})(\text{m})}{1,3289 \cdot 10^{-5} \text{ Pas}} \quad Re_H = 7,86 \cdot 10^5$$

- Avec le diagramme de l'annexe F, on a $f_H = 9 \cdot 10^{-3}$

- La perte linéaire de charge est (équation C3)

$$\frac{dP_f}{dz} = - 2 f_H \times \frac{G^2}{\rho_H} = - 2 \times 3 \cdot 10^{-3} \times \frac{(40,1)^2}{0,2604 \times 1,0504}$$

$$\frac{dp_e}{dz} = -70,55 \text{ Pa/m}$$

Sur le rouleau, on a $\frac{r}{D} = 10$, d'où $r = 10D = 10 \times 0,2604 \text{ m} = 2,604 \text{ m}$

La longueur L de l'arc sera alors

$$L = \frac{2\pi r}{4} = \frac{\pi r}{2} = \frac{\pi \times 2,604}{2} = 4,09 \text{ m},$$

d'où, (équation (5))

$$\Delta P_2 = -70,55 \text{ Pa/m} \times 4,09 \text{ m}$$

$$\underline{\Delta P_2 = -289 \text{ Pa}}$$

$$P_3 = P_2 + \Delta P_2$$

$$\underline{P_3 = 1,75620 \times 10^5 \text{ Pa}}$$

Annexe D

CALCUL DES PERTES DE CHARGE D'UN ECOULEMENT BIOPHASIQUE EAU-VAPEUR DANS UN COUDE DE 90° PAR LA METHODE DE CHISHOLM - SUTHERLAND.

Jusque'aujourd'hui, le calcul des pertes singulières de charge dans un écoulement biphasique pose toujours un problème.

Généralement, la méthode de l'écoulement homogène est utilisée, même si n'est pas évident que l'on a ce type d'écoulement, dans les robinets, coude, etc.

Chisholm et Sutherland ont, pour le cas des coude de 90°, défini un module X de la manière suivante

$$X = \frac{\Delta P_L}{\Delta P_{nv}} \quad (D1)$$

et ont donné la corrélation

$$\Delta P_{coude} = \phi_{L,v}^2 \Delta P_{L,v} \quad (D2)$$

avec

$$\phi_L^2 = 1 + \frac{C}{X} + \frac{1}{X^2}$$

$$\phi_v^2 = 1 + CX + X^2 \quad (D3)$$

où

$$C = C_2 \left(\sqrt{\frac{P_L}{P_{nv}}} + \sqrt{\frac{P_{nv}}{P_L}} \right) \quad (D4)$$

et

$$C_2 = 1 + 35 \frac{D}{L_{eq}} \quad (D5) \quad \text{où}$$

D est le diamètre de la conduite et L_{eq} sa longueur équivalente.

ρ_L/ρ_G	x	$G < 32 \text{ kg/sm}^2$	$32 - 100$	$100 - 320$	$320 - 1000$	$1000 - 3200$	$3200 - 10000$	$G > 10000 \text{ kg/m}^2$	$0 < G < \infty$
3.2	-	-	-	-	G B E C F A D	C G E F A D B	-	-	G C B E F A D
0.0	-	-	-	-	C Y A G D E B G A D F C E B E G C B P A D	C G E A F D B C F A D B G E	-	-	C F A D G B E A D G F C B E E G C B F A D
0.1	-	-	-	-	-	-	-	-	-
0.2	-	-	-	-	-	-	-	-	-
0.3	-	-	-	-	-	-	-	-	-
0.4	-	-	-	-	-	-	-	-	-
0.5	-	-	-	-	-	-	-	-	-
0.6	-	-	-	-	-	-	-	-	-
0.7	-	-	-	-	-	-	-	-	-
0.8	-	-	-	-	-	-	-	-	-
0.9	-	-	-	-	-	-	-	-	-
1.0	-	-	-	-	-	-	-	-	-
10	-	-	-	-	D F A C G B E	G E D A C F B	Z A G D C F B	A C D F B G -	G E D A C F B
0.0	-	-	-	-	C B G E A F D F C D B A E G D C F A E B G D C F E A B G	C B G E D A F G E D A F C B E G D C F A B E G D C F A B	E G A D F C B E C F A G D B E D C A G F B G A D F E B C	-	C B D A F J E D C F A E B G E G D C F A B
0.1	-	-	-	-	G A E F D C B G E D C A F B G D C E F A B G E D C A F B	G A G D C E F B G A E D F C E G E D C F A B G E D F A C B	G A F D B C - G A D F C B - G A D F C B - G F D A C B -	-	-
0.2	-	-	-	-	G D E F G C A B	E G D C F A B	-	-	-
0.3	-	-	-	-	-	-	-	-	-
0.4	-	-	-	-	-	-	-	-	-
0.5	-	-	-	-	-	-	-	-	-
0.6	-	-	-	-	-	-	-	-	-
0.7	-	-	-	-	-	-	-	-	-
0.8	-	-	-	-	-	-	-	-	-
0.9	-	-	-	-	-	-	-	-	-
1.0	-	-	-	-	-	-	-	-	-
32	-	-	-	-	D F A C B G E	A E F G D B C	C A D B G F -	C D A B F G -	Z G D F A B C
0.0	-	-	-	-	Z A D F C G B D F A E C B G D A F C E B G A D F C E B G	A F E D G C B E G A F B C D G Z D F C B A G E B F D C A	-	C A D F B G - C D F A B G - C F A D B G - C D A B F G -	Z A F D G C B Z E G D F C A B Z E G B C F D A Z E G D C B F A
0.1	-	-	-	-	G E A B C D F G E D C F B A E C G D B F A B D C F G E A	-	-	-	-
0.2	-	-	-	-	-	-	-	-	-
0.3	-	-	-	-	-	-	-	-	-
0.4	-	-	-	-	-	-	-	-	-
0.5	-	-	-	-	-	-	-	-	-
0.6	-	-	-	-	-	-	-	-	-
0.7	-	-	-	-	-	-	-	-	-
0.8	-	-	-	-	-	-	-	-	-
0.9	-	-	-	-	-	-	-	-	-
1.0	-	-	-	-	-	-	-	-	-
100	-	D A F B G -	D F C A B E G	G E F D B A C	F A B E C G D	-	-	-	D F B A E C G
0.0	-	-	-	B G A D F E C F A D B C E G E G A C B F B C E F A G D G F A C E B G B E C F A G F E B C A P E G A R C F E A D B G C G C E F A B	A B F E C D G F A C E B G - G E C F B A - F G C B E A - G F E C B A - G E C F B A - G F C B E A - G F C E B A - F A E G B C - F E A G B C -	P A B E C G D	-	A F B E C D G P A C B E D G G E C F B A - G F E C B A D G D E F C B A G F C E B A - D P G E C A B F E G C A R - C E F D G A B G C E F A B -	
0.1	-	-	-	-	-	-	-	-	-
0.2	-	-	-	-	-	-	-	-	-
0.3	-	-	-	-	-	-	-	-	-
0.4	-	-	-	-	-	-	-	-	-
0.5	-	-	-	-	-	-	-	-	-
0.6	-	-	-	-	-	-	-	-	-
0.7	-	-	-	-	-	-	-	-	-
0.8	-	-	-	-	-	-	-	-	-
0.9	-	-	-	-	-	-	-	-	-
1.0	-	-	-	-	-	-	-	-	-
> 320	B A G - - -	B F A C G - -	B C F E G A -	E B G A F C -	B E C F G A -	B E A F - - -	-	-	B F E A C G -
0.0	-	-	-	G C B E F A - B C F A G - B C F A G - C F A B G - C F A B G - C B F A G - C B F A G - D F G A B - D F G A B - D A B G -	E B F C G A - B C A E G F - G E B C A F - E B A E C F - B F E C A G - F E G A C B - F E G A C B - F E B A G C - F A E G B C - F E A G B C -	B E C F G A -	B E A F - - -	B E C F A G - B E B C A F G - B E C F B A G - F G B C A E - G F E B C A - F G E B A C - E G C F B A - E P B G A C - F E B A G C - F B A E G C -	
0.1	-	-	-	-	-	-	-	-	-
0.2	-	-	-	-	-	-	-	-	-
0.3	-	-	-	-	-	-	-	-	-
0.4	-	-	-	-	-	-	-	-	-
0.5	-	-	-	-	-	-	-	-	-
0.6	-	-	-	-	-	-	-	-	-
0.7	-	-	-	-	-	-	-	-	-
0.8	-	-	-	-	-	-	-	-	-
0.9	-	-	-	-	-	-	-	-	-
1.0	-	-	-	-	-	-	-	-	-

Pour toutes valeurs de ρ_L/ρ_G

x	$G < 32 \text{ kg/sm}^2$	$32 - 100$	$100 - 320$	$320 - 1000$	$1000 - 3200$	$3200 - 10000$	$G > 10000 \text{ kg/m}^2$	$0 < G < \infty$	
0.0	-	-	-	D G C B E P A C B F E A G D C B F A G D C F A B G D C B F A G D C B F A G D D P G A B - -	D E F G A C B A F E D C G B D E G C B F A D B G E C F A D B E C G F A D B E C G F A D E C E B F G A D E C E B F G A D E G F A C B	D E F A G C B E A D F G C B E G C B F A D E G C F D B A E G D C T A B E G C D B F A E G D C F A B E G D C F A B	G D E A F C B E A D F G C B G A F D E B C G A F D E B C E B C F G A D E B C F G A D G A D F C B - G A D F C B -	C A D F B G - B F C G A D - B F C A G D - C D A B F G - B C F D A G - G F A B D C - G F A B D C -	D E F A G C B E D A F C G B E F P D A C G B E G F A C B D B E G F A C A D B E G F C A D B E G F A C D B E G F A C D B
0.1	-	-	-	-	-	-	-	-	
0.2	-	-	-	-	-	-	-	-	
0.3	-	-	-	-	-	-	-	-	
0.4	-	-	-	-	-	-	-	-	
0.5	-	-	-	-	-	-	-	-	
0.6	-	-	-	-	-	-	-	-	
0.7	-	-	-	-	-	-	-	-	
0.8	-	-	-	-	-	-	-	-	
0.9	-	-	-	-	-	-	-	-	
1.0	-	-	-	-	-	-	-	-	

Pour toutes valeurs de ρ_L/ρ_G et de x

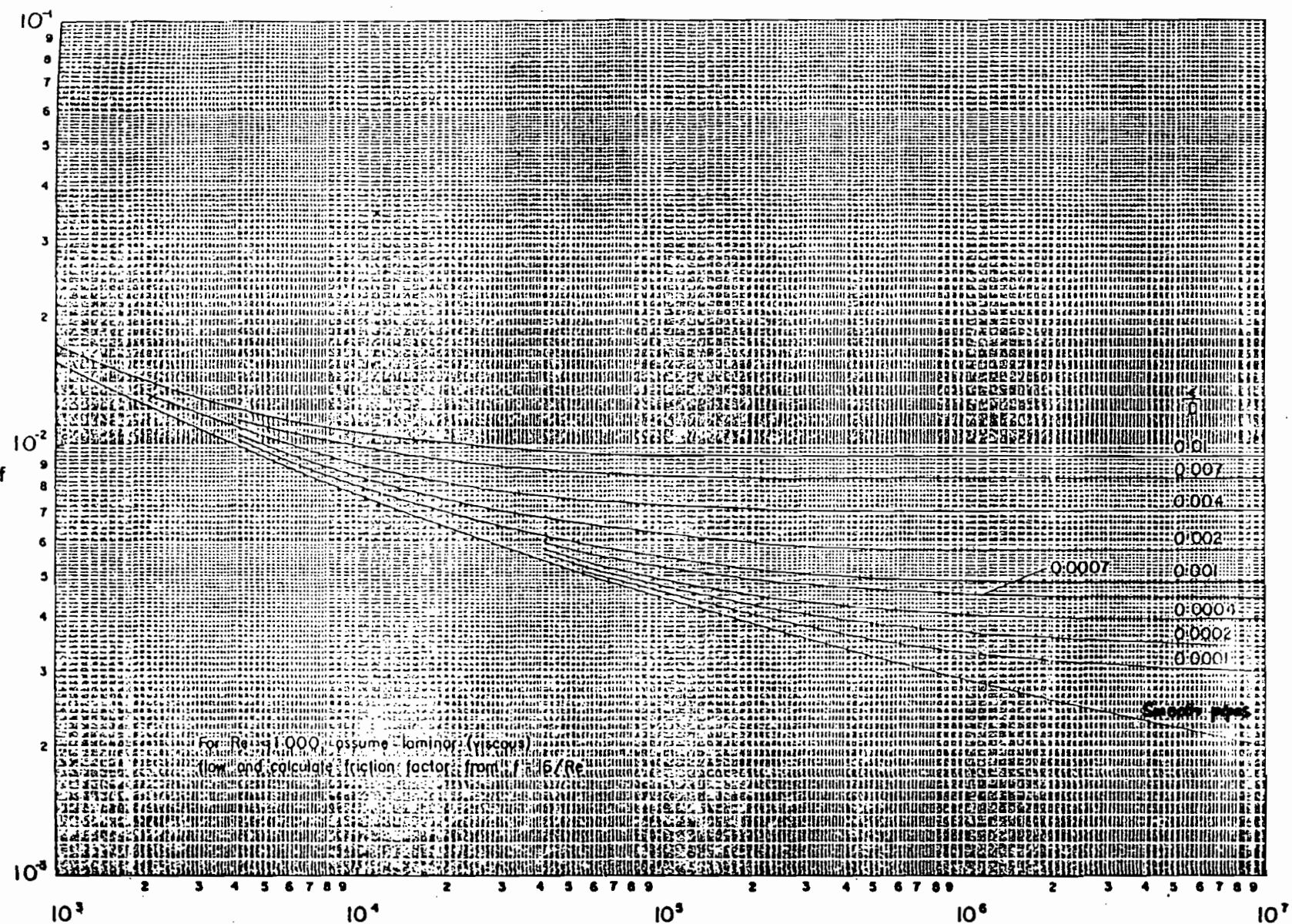
$G < 32 \text{ kg/sm}^2$	$32 - 100$	$100 - 320$	$320 - 1000$	$1000 - 3200$	$3200 - 10000$	$G > 10000 \text{ kg/m}^2$	$0 < G < \infty$
B A G - - -	D B F A C G -	D B C F E A G	D E F G A C B	D E G A F C B	E C G A D F B	B F C G D A -	D E F A G C B

Annexe E Table de sélection de méthode de calcul des pertes de charge dans un écoulement biphasique.

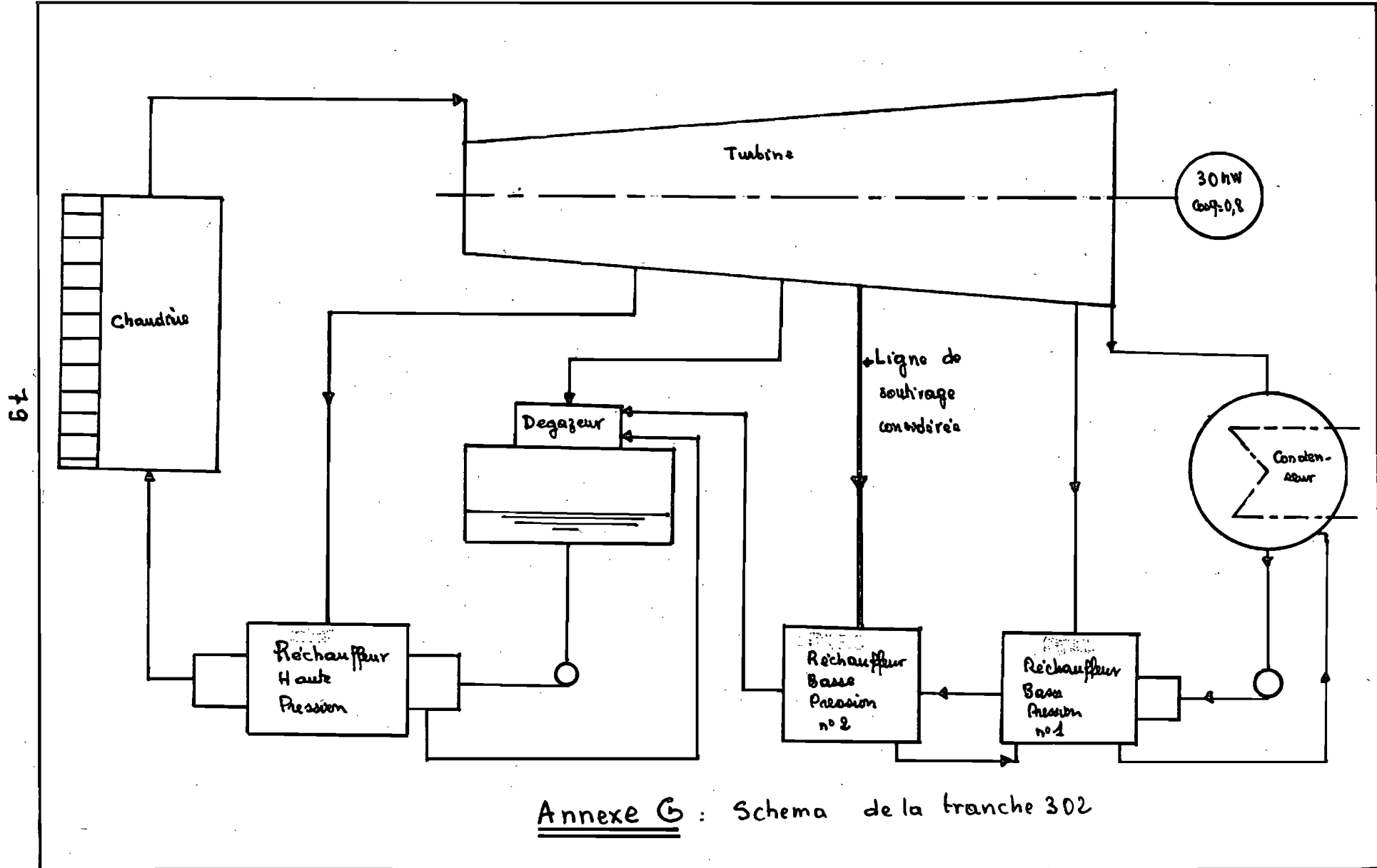
- A Théorie homogène
- B Corrélation de Lockhart et Martinelli
- C Corrélation de Martinelli et Nelson
- D Corrélation de Thom

- E Corrélation de Braroezy
- F Corrélation de Phenowell et Martin
- G. Equations de Phisholm.

78

Annexo F

Diagrammo de Moody wilke'



Annexe H

ESSAI DE CALCUL DES PERTES
DE CHARGE DANS LA CONDUITE
DE SOUTIRAGE TURBINE VERS R.B.P.2

PAR LA MÉTHODE DE KERN

1^o Données utiles:

Toutes sont les mêmes que celles données dans la section 6.3, mais doivent être exprimées en unités anglo-saxonnes.

$$\begin{aligned}
 - D = 260,4 \text{ mm} &\Rightarrow D' = 260,4 \cdot 10^{-3} = 39,37 & D' = 10,25 \text{ po} \\
 - m = 2,129 \text{ kg/s} &\Rightarrow m' = 2,129 \cdot 7938 & m' = 16900 \text{ lb/hr} \\
 - m'_L = 0,106 \text{ kg/s} &\Rightarrow m'_L = 0,106 \cdot 7938 & m'_L = 841 \text{ lb/hr} \\
 - m'_{vr} = 2,023 \text{ kg/s} &\Rightarrow m'_{vr} = 2,023 \cdot 7938 & m'_{vr} = 16059 \text{ lb/hr} \\
 - \rho_{air} = 1,011 \text{ kg/m}^3 &\Rightarrow \rho'_{air} = 1,011 \cdot 6,243 \cdot 10^{-2} & \rho'_{air} = 6,25 \cdot 10^{-2} \text{ lb/ft}^3 \\
 - \rho_L = 945,93 \text{ kg/m}^3 &\Rightarrow \rho'_L = 945,93 \cdot 6,243 \cdot 10^{-2} & \rho'_L = 59,054 \text{ lb/ft}^3 \\
 - \mu_L = 2,400 \cdot 10^{-4} \text{ Pa.s} &\Rightarrow \mu'_L = 2,400 \cdot 10^{-4} \cdot 10^3 & \mu'_L = 0,2400 \text{ cP} \\
 - \mu'_{vr} = 1,269 \cdot 10^{-5} \text{ Pa.s} &\Rightarrow \mu'_{vr} = 1,269 \cdot 10^{-5} \cdot 10^3 & \mu'_{vr} = 1,269 \cdot 10^{-2} \text{ cP} \\
 - \text{De la table B2 de l'annexe B, on a} \\
 - \sigma_L = 5,8847 \cdot 10^{-2} (1,76) &= 5,8847 \cdot 10^{-2} \cdot 1,76 \cdot 10^{11} & \sigma'_L = 55,264 \text{ dynes/cm}^2
 \end{aligned}$$

2^o Détermination du type d'écoulement

- Calcul de B_{xz} (équation 3.1)

$$B_{xz} = 531 \left(\frac{m'_L}{m'_{vr}} \right) \left(\frac{\rho'_{air}}{\rho'_L} \right)^{1/3} \left(\frac{\mu'_L}{\mu'_{vr}} \right) = 531 \cdot \left(\frac{841}{16059} \right)^{1/3} \left(\frac{6,25 \cdot 10^{-2}}{59,054} \right) \left(\frac{0,2400}{1,269} \right)^{1/3}$$

$$B_{xz} = 3,97 \cdot 10^{-2}$$

- Calcul de B_y (équation 3.2)

$$B_y = 2,16 \cdot \frac{m'_{vr}}{A' \sqrt{\rho'_L \rho'_{air}}}$$

$$A = \frac{\pi d^2}{4} = \frac{\pi \times 0,2604^2}{4} = 5,33 \cdot 10^{-2} \text{ m}^2 \Rightarrow A' = 5,33 \cdot 10^{-2} + 10,76 \quad A' = 0,573 \text{ ft}^2$$

$$By = 2,16 \frac{16059}{0,573 \sqrt{59,054 \times 6,25 \cdot 10^{-2}}} \quad By = 3,151 \cdot 10^4$$

Déjà, avec la valeur de B_x , on voit que l'on ne peut pas utiliser le diagramme de Baker de la figure 3.1. En effet, la valeur minimale de B_x dans ce diagramme est $B_x = 10^1$, et, comme ce diagramme a été établi sur une base empirique, il n'est pas du tout recommandé d'extrapoler.

J'ailleurs, en essayant d'extrapoler avec $B_x = 3,97 \cdot 10^{-2}$ et $By = 3,151 \cdot 10^4$ on tombe dans la zone de l'événement ondulée, qui ne peut exister que dans une vitesse horizontale.

Annexe I: LISTE DES FIGURES

Figure 1.1 Types d'écoulements biphasiques

- " 2.1 $\frac{\Delta P_{TP}}{\Delta P^*}$ en fonction de L.V.F. et $\frac{P_L \Psi_L}{P_U \Psi_U}$
- " 3.1 Diagramme de Baker
- " 3.2 Détermination du facteur de fûche f_H de Huntington
- " 3.3 Détermination de ϕ^2 et de $\Delta P'_{TP}$ pour un écoulement biphasique dispersé
- " 3.4 Détermination de ϕ^2 et de $\Delta P'_{TP}$ pour un écoulement biphasique annulaire
- " 3.5 Détermination de ϕ^2 et de $\Delta P'_{TP}$ pour un écoulement biphasique en bulles
- " 4.1 Détermination de la méthode à utiliser pour calculer ω_{L0}^2
- " 4.2 Facteur de corrélation ϕ_{L0}^2 en fonction de $N^2 \bar{J}(1-\bar{p})$
- " 4.3 Facteur d'incertitude ΔE en fonction de N et s pour $C = 90\%$ et $P = 99\%$, pour la corrélation de Chenoweth et Martin
- " 4.4. Algorithme de calcul de $\frac{dP_L}{dz}$
- " 4.5 Facteur d'incertitude ΔE en fonction de N et s pour $C = 90\%$ et $P = 99\%$, pour la corrélation de Zuber
- " 4.6. Algorithme de calcul de dP_L/dz
- " 4.7. Algorithme de calcul de ΔP_{TP} avec la méthode approfondie

Figure 5.1 Algorithme de calcul du diamètre D d'une conduite caractérisée par un écoulement biphasique (adiabatique)

.. 6.1 Schéma isométrique du circuit de refroidissement des rapides turbine - RBP2 de la centrale thermique du Gap, des mises de la Senelec

Annexe J

LISTE DES TABLEAUX

- Tableau 3.1. Détermination du facteur de corrélation selon
le type d'écoulement biphasique.
- " 4.1 Table de performance de Chenoweth et Routh
- " 4.2 Valeurs des paramètres utilisés dans les
tabels pour la corrélation de Chenoweth et Routh
- " 4.3 Table de performance de Zuber
- " 6.1 Coefficients de pertes de charge singulières
et longueurs équivalentes pour les accessoires
de la ligne de soutirage turbine-RBP2
- " 6.2 Résultats des valeurs de pertes de
charge avec la méthode approfondie.

REFERENCES

1. BAKER, O.; "Multiphase flow in pipe lines"; The Oil and Gas Journal, Guillet 1954
2. LOCKHART, R.W. et MARTINELLI, R.C.; "Proposed Correlation of Data for Isothermal two-phase, two-component flow in pipes"; Chemical Eng. Prog. Vol. 46, 1949
3. CHENOWETH, J.H. et MARTIN, M.W.; "Turbulent Two Phase Flow"; Petroleum Refiner, No 10, 1955
4. KERN, R.; "How to size process piping for two phase flow"; Hydrocarbon Processing, PP.105-109, 1969
5. SCHNEIDER, F.N.; WHITE, P.D. et HUNTINGTON, R.L.; "Correlation For Two-phase Wave Flow"; Pipe Line Industry, Oct. 1952
6. DAVIS, W.J.; "The effect of the Froude Number in estimating vertical two-phase gas-liquid friction losses"; British Chemical Engineering, Vol. 8, Guillet 1963
7. CERNEA, A.R.; "Design for pressure gradient calculation in two-phase flow and pipe selection"; Oct. 1982
8. ZUBER, N.; "Average volumetric concentration in two-phase flow"; Transactions of ASME, Journal of Heat Transfer, Series C Vol. 87, PP 453-468, Nov. 1985
9. CHISHOLM, D.; "Pressure losses in bends and tees during steam-water flow"; N.E.L. Report No 318, 1967

10. MARTINELLI, R.C. et NELSON, D.O., "Prediction of pressure drop during forced circulation boiling of water"; Trans. Am. Soc. Mech. Eng., Vol 70 1948
11. THOM, J.R.S., "Prediction of pressure drop during forced circulation boiling of water"; Int. J. Heat Mass Transfer, Vol.7, pp.709-724, 1964
12. CHISHOLM, D.; "Pressure gradients due to friction during the flow of evaporating two-phase mixtures in smooth tubes and channels."; Int. J. Heat Mass Transfer, Vol.16, 1973
13. BAROCZY, C.J.; "A systematic correlation for two-phase pressure drop." Chem. Eng. Prog.; Symp. Series; Vol. 62, 1966

OUVRAGES CONSULTÉS

1. STREETER, V.L.; "Handbook of fluid dynamics."; McGraw-Hill, 1961
- 2 BUTTERWORTH, D. et HEWITT, G.F.; "Two-phase flow and heat transfer."; Oxford University Press, 1977

OUVRAGES CONSEILLES

1. BUTTERWORTH, D. et HEWITT, G.F.; "Two phase flow and heat transfer."; Oxford University Press, 1977
- 2 CERNIA, A.N.; "Design for pressure gradient calculation in two-phase flow and pipe selection."; Oct. 1982.

« Il en est des œuvres de l'intelligence
comme du feu de notre foyer.
On prend le feu chez son voisin, on
l'allume chez soi, on le passe à
d'autres, et le feu appartient à tous. »

Voltaire.